TROY TECHNICAL

機能性材料

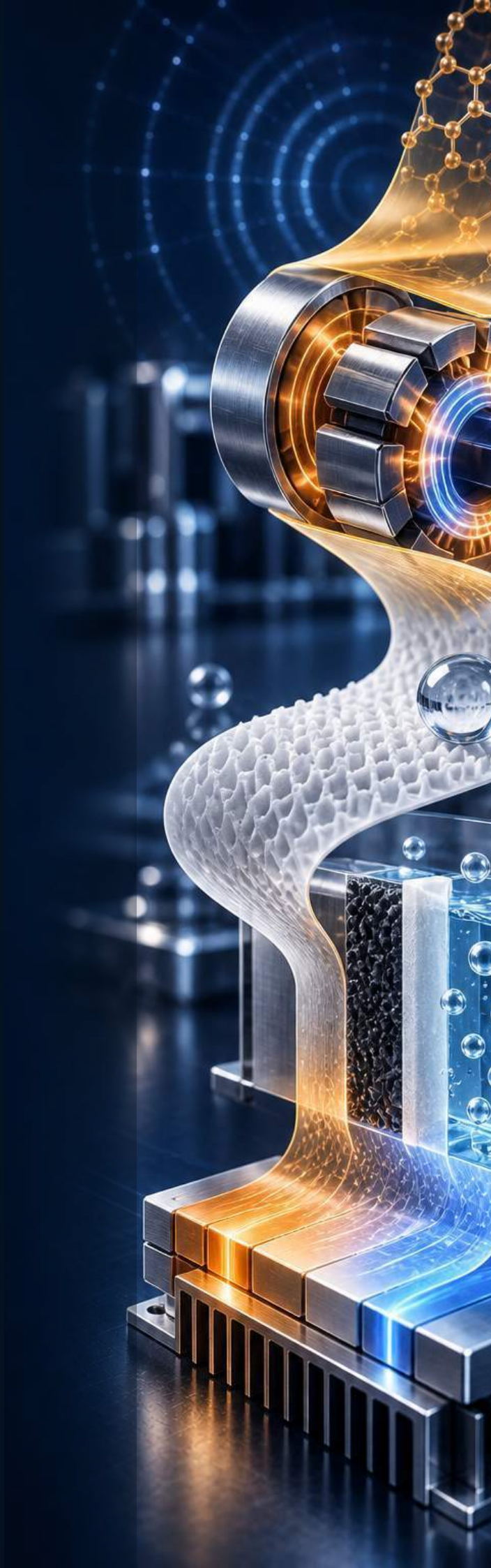
ウィークリーレポート

2026年10月24日-10月30日 | Issue 2026-W43

測定可能な機能、信頼性、製造統合

17	10
分析対象	重点テーマ

発行 2026-10-30 | 日本語版 | 承認済み固定表紙



機能性材料:個別発表から認定証拠へ境界が移動

日本語記事17件を棚卸しし、意思決定に重要なテーマを選定した。

シグナル 01 | 組成

高エントロピー合金|磁場退火による短程有序誘導と-72.30 dBの超強吸波性能

北京理工大学の研究チームが、磁場退火を用いて高エントロピー合金(HEA)の化学的短程有序(SRO)を誘導し、極めて高い電磁波吸収性能を実現した。FeCoNiCr系合金を用いたサンプルは、厚さわずか1.59 mmで-72.30 dBという超強力な反射損失と4.40 GHzの最大有効吸収帯域を達成した。本成果は、低周波帯(6 GHz以下)における「薄型・耐熱・広帯域」という電磁波吸収材料の困難な課題を解決する新たな設計指針を提示している。

シグナル 02 | 機能特性

食品廃棄物由来バイオ炭|グラフェン複合体による蓄熱性能と漏出抑制の検証

食品廃棄物を原料としたバイオ炭とグラフェンのハイブリッド材料により、高効率な蓄熱と水分管理を実現する複合体が開発されました。この材料に相変化物質(PCM)のドコサンを封入したところ、1000回の加熱・冷却サイクル後も最大90.2%の潜熱を保持し、未処理のバイオ炭複合体比で潜熱が72.0%向上しました。これにより、有機PCMの長年の課題であった融解時の漏出と熱伝導率の低さが改善され、換気システムの温度緩衝材としての実用性が高まります。

シグナル 03 | 加工

PUUコーティング|寒冷地ダム向け防氷被膜の氷付着強度2 kPa実現と耐久性能

親水性表面を持つ二層構造のポリウレタン-尿素(PUU)防氷コーティングが開発され、-20 °Cにおいて2 kPaという極めて低い氷せん断強度を達成しました。このシステムはUV老化、摩耗、長期凍結後も耐久性を維持し、自然な力で氷を脱落させることが可能です。フッ素系材料や浸出する潤滑剤を使用せず、寒冷地の水力ダムにおける氷の引き抜き損傷という長年の工学的課題に対する受動的な解決策を提供します。

シグナル 04 | デバイス統合

不均一メタレンズアレイ|XR向けライトフィールドディスプレイの視野角を50度に拡大

不均一メタレンズアレイを用いることで、ライトフィールド近眼ディスプレイの視野角を従来の13度から約4倍の50度まで拡大することに成功した。各サブレンズを視野角領域に合わせて個別に最適化し、回折限界に近い画質を維持しつつ、軽量な単一光学素子で広視野角を実現している。これにより、従来のXRディスプレイで課題となっていた輻輳調節矛盾(VAC)を解消し、視覚的な疲労や眩暈を軽減できる可能性がある。

編集判断

今週の経営判断は 測定可能な機能、信頼性、製造統合 に集中する。自社条件で関連証拠を再現できる場合だけ次へ進む。

経営の3アクション

1. 事業会社: 統合・劣化・システムのトレードオフ後も残る性能を優先する.
2. 供給企業: 材料特性を工程制御、界面挙動、顧客受入データへ接続する.
3. 経営層: 再現性、界面安定、工程適合、原価、認定.

証拠の読み方

FACTは収集記事に書かれた内容、事業への読みとACTIONは編集判断、UNKNOWNは記事だけでは確定しない項目を示す。リンク先があることだけで、全主張が独立検証済みとは扱わない。

条件と一緒に読む主要数値・証拠5件

1.59 mm
A15

数値の条件
北京理工大学の研究チームが、磁場退火を用いて高エントロピー合金(HEA)の化学的短程有序(SRO)を誘導し、極めて高い電磁波吸収性能を実現した。FeCoNiCr系合金を用いたサンプルは、厚さわずか1.59 mmで-72.30 dBという超強力な反射損失と4.40 GHzの最大有効吸収帯域を達成した。本成果は、低周波帯(6 GHz以下)における「薄型・耐熱・広帯域」という電磁波吸収材料の困難な課題を解決する新たな設計指針を提示している。

90.2%
A10

数値の条件
食品廃棄物を原料としたバイオ炭とグラフェンのハイブリッド材料により、高効率な蓄熱と水分管理を実現する複合体が開発されました。この材料に相変化物質(PCM)のドコサンを封入したところ、1000回の加熱・冷却サイクル後も最大90.2%の潜熱を保持し、未処理のバイオ炭複合体比で潜熱が72.0%向上しました。これにより、有機PCMの長年の課題であった融解時の漏出と熱伝導率の低さが改善され、換気システムの温度緩衝材としての実用性が高まります。

4倍
A07

数値の条件
不均一メタレンズアレイを用いることで、ライトフィールド近眼ディスプレイの視野角を従来の13度から約4倍の50度まで拡大することに成功した。各サブレンズを視野角領域に合わせて個別に最適化し、回折限界に近い画質を維持しつつ、軽量な単一光学素子で広視野角を実現している。これにより、従来のXRディスプレイで課題となっていた輻輳調節矛盾(VAC)を解消し、視覚的な疲労や眩暈を軽減できる可能性がある。

2層
A04

数値の条件
S4点群対称性を利用した2層構造のテラヘルツメタサーフェスにより、作製誤差に強い堅牢なQuasi-BIC(準束縛状態)を実現した。この構造は、層間のずれが|Dx| ≤ 42 μmの範囲であっても、共鳴周波数の変動を0.01 THz未満に抑え、Q値を10^2以上に維持できる。これにより、従来の単層構造で課題となっていた極めて狭い作製公差を大幅に緩和し、実用的なデバイス応用への道を開く。

60分
A17

数値の条件
シリカエアロゲルとナノグラフェンフレークを配合した新しいハイブリッドシリコンシーラントが、標準的な耐火試験において60分以上の遮炎性と断熱性を維持することに成功した。従来の配合が約40分で耐性を失うのに対し、表面処理を施したナノ材料の導入により、耐火性能と機械的強度の両立を実現している。これにより、高層ビルの接合部における耐火性能の弱点という長年の課題を解決する可能性がある。

数値の読み方
数値は収集記事が示した条件と一緒に掲載する。試験法、寸法、温度、商用段階が異なる値を、条件補正なしで比較しない。

バリューチェーンはどこで動いたか

各段階に主テーマと補助テーマを接続する。矢印は装飾ではなく、次工程へ渡す証拠を示す。

1

組成

P01/P06

北京理工大学の研究チームが、磁場退火を用いて高エントロピー合金(HEA)の化学的短程有序(SRO)を誘導し、極めて高い電磁波吸収性能を実現した。FeCoNiCr系合金を用いたサンプルは、厚さわずか1.59 mmで-72.

2

機能特性

P02/P07

食品廃棄物を原料としたバイオ炭とグラフェンのハイブリッド材料により、高効率な蓄熱と水分管理を実現する複合体が開発されました。この材料に相変化物質(PCM)のドコサンを封入したところ、1000回の加熱・冷却サイクル後も最大90.

3

加工

P03/P08

親水性表面を持つ二層構造のポリウレタン-尿素(PUU)防氷コーティングが開発され、-20 °Cにおいて2 kPaという極めて低い氷せん断強度を達成しました。

4

デバイス統合

P04/P09

不均一メタレンズアレイを用いることで、ライトフィールド近眼ディスプレイの視野角を従来の13度から約4倍の50度まで拡大することに成功した。

5

市場採用

P05/P10

単一の二元材料であるゲルマニウム・テルル化物(GeTe)を用いて、メモリセルとセレクタの両方の機能を実装することに成功した。

各受渡しで必要な証拠

組成 → 機能特性	試験条件、受入基準、故障データ、担当、判断日を渡し、再確認する: 再現性、界面安定、工程適合、原価、認定.
機能特性 → 加工	試験条件、受入基準、故障データ、担当、判断日を渡し、再確認する: 再現性、界面安定、工程適合、原価、認定.
加工 → デバイス統合	試験条件、受入基準、故障データ、担当、判断日を渡し、再確認する: 再現性、界面安定、工程適合、原価、認定.
デバイス統合 → 市場採用	試験条件、受入基準、故障データ、担当、判断日を渡し、再確認する: 再現性、界面安定、工程適合、原価、認定.

共通管理点

担当者が関連証拠を再現し、次を記録するまで商用判断へ進めない: 再現性、界面安定、工程適合、原価、認定.

プライオリティマップ:実装成熟度と次の判断場所



P01	高エントロピー合金|磁場退火による短程有序誘導と-72.30 dBの超強吸波性能 事業・制度・供給	根拠: 指針
P02	食品廃棄物由来バイオ炭|グラフェン複合体による蓄熱性能と漏出抑制の検証 システム・導入	根拠: システム
P03	PUUコーティング|寒冷地ダム向け防氷被膜の氷付着強度2 kPa実現と耐久性能 システム・導入	根拠: システム
P04	不均一メタレンズアレイ|XR向けライトフィールドディスプレイの視野角を50度に拡大 技術・工程	根拠: 統合・事業語なし
P05	ゲルマニウム・テルル化物|単一材料でメモリセルとセレクタを両立する性能と構造 システム・導入	根拠: 実装
P06	S4テラヘルツメタサーフェス|堅牢なQuasi-BICの実現と作製誤差への耐性 技術・工程	根拠: 統合・事業語なし
P07	極低温用金属材料|PolyUが開発した冷脆性克服の新戦略と性能・実用化時期 技術・工程	根拠: 統合・事業語なし
P08	ハイブリッドシリコンシーラント|シリカエアロゲル配合による耐火性能と強度の向上 事業・制度・供給	根拠: 標準
P09	バイオハイブリッド・メッシュ発電機|心筋細胞による電力回収の仕組みと性能 システム・導入	根拠: 統合
P10	ProterialとFEV|アモルファス合金を用いたEV駆動モータの性能と軽量化効果 事業・制度・供給	根拠: 指針

再現可能な配置ルール
横軸は研究・試作・共同評価・製品採用・量産の5段階。縦の帯は次の判断場所を技術・工程、システム・導入、事業・制度・供給に分ける。まず記事見出しの根拠語を使い、見出しで判断できない場合だけ概要を参照する。上下は影響の大小を意味しない。円径は編集スコアを示す。

FACTは収集記事に接続し、事業への読み、ACTION、UNKNOWNは編集判断として分離する。

P01 高エントロピー合金|磁場退火による短程有序誘導と-72.30 dBの超強吸波性能

A15 | 組成 | 研究

日付未収録

FACT

北京理工大学の研究チームが、磁場退火を用いて高エントロピー合金(HEA)の化学的短程有序(SRO)を誘導し、極めて高い電磁波吸収性能を実現した。FeCoNiCr系合金を用いたサンプルは、厚さわずか1.59 mmで-72.30 dBという超強力な反射損失と4.40 GHzの最大有効吸収帯域を達成した。本成果は、低周波帯(6 GHz以下)における「薄型・耐熱・広帯域」という電磁波吸収材料の困難な課題を解決する新たな設計指針を提示している。

なぜ重要か

判断上の焦点は「測定可能な機能、信頼性、製造統合」である。見出しだけで採用せず、用途と運用条件で再現できるかを確認する。

事業への読み

事業会社は現在の認定・調達・製品ロードマップへの影響を比較する。材料・装置・技術企業は、材料特性を工程制御、界面挙動、顧客受入データへ接続する。

ACTION

30日以内に、統合・劣化・システムのトレードオフ後も残る性能を優先する。結果と担当者をP01の評価票へ記録する。

UNKNOWN

記事だけでは確定しない項目: 再現性、界面安定、工程適合、原価、認定。

編集スコア 18/25 | 成熟度 1/5 | 判断場所: 事業・制度・供給

P02 食品廃棄物由来バイオ炭|グラフェン複合体による蓄熱性能と漏出抑制の検証

A10 | 機能特性 | 試作

日付未収録

FACT

食品廃棄物を原料としたバイオ炭とグラフェンのハイブリッド材料により、高効率な蓄熱と水分管理を実現する複合体が開発されました。この材料に相変化物質(PCM)のドコサンを封入したところ、1000回の加熱・冷却サイクル後も最大90.2%の潜熱を保持し、未処理のバイオ炭複合体比で潜熱が72.0%向上しました。これにより、有機PCMの長年の課題であった融解時の漏出と熱伝導率の低さが改善され、換気システムの温度緩衝材としての実用性が高まります。

なぜ重要か

判断上の焦点は「測定可能な機能、信頼性、製造統合」である。見出しだけで採用せず、用途と運用条件で再現できるかを確認する。

事業への読み

事業会社は現在の認定・調達・製品ロードマップへの影響を比較する。材料・装置・技術企業は、材料特性を工程制御、界面挙動、顧客受入データへ接続する。

ACTION

30日以内に、統合・劣化・システムのトレードオフ後も残る性能を優先する。結果と担当者をP02の評価票へ記録する。

UNKNOWN

記事だけでは確定しない項目: 再現性、界面安定、工程適合、原価、認定。

編集スコア 18/25 | 成熟度 2/5 | 判断場所: システム・導入

FACTは収集記事に接続し、事業への読み、ACTION、UNKNOWNは編集判断として分離する。

P03 PUUコーティング|寒冷地ダム向け防氷被膜の氷付着強度2 kPa実現と耐久性能

A03 | 加工 | 試作

日付未収録

FACT

親水性表面を持つ二層構造のポリウレタン-尿素(PUU)防氷コーティングが開発され、-20 °Cにおいて2 kPaという極めて低い氷せん断強度を達成しました。このシステムはUV老化、摩耗、長期凍結後も耐久性を維持し、自然な力で氷を脱落させることが可能です。フッ素系材料や浸出する潤滑剤を使用せず、寒冷地の水力ダムにおける氷の引き抜き損傷という長年の工学的課題に対する受動的な解決策を提供します。

なぜ重要か

判断上の焦点は「測定可能な機能、信頼性、製造統合」である。見出しだけで採用せず、用途と運用条件で再現できるかを確認する。

事業への読み

事業会社は現在の認定・調達・製品ロードマップへの影響を比較する。材料・装置・技術企業は、材料特性を工程制御、界面挙動、顧客受入データへ接続する。

ACTION

30日以内に、統合・劣化・システムのトレードオフ後も残る性能を優先する。結果と担当者をP03の評価票へ記録する。

UNKNOWN

記事だけでは確定しない項目: 再現性、界面安定、工程適合、原価、認定。

編集スコア 18/25 | 成熟度 2/5 | 判断場所: システム・導入

P04 不均一メタレンズアレイ|XR向けライトフィールドディスプレイの視野角を50度に拡大

A07 | デバイス統合 | 研究

日付未収録

FACT

不均一メタレンズアレイを用いることで、ライトフィールド近眼ディスプレイの視野角を従来の13度から約4倍の50度まで拡大することに成功した。各サブレンズを視野角領域に合わせて個別に最適化し、回折限界に近い画質を維持しつつ、軽量な単一光学素子で広視野角を実現している。これにより、従来のXRディスプレイで課題となっていた輻輳調節矛盾(VAC)を解消し、視覚的な疲労や眩暈を軽減できる可能性がある。

なぜ重要か

判断上の焦点は「測定可能な機能、信頼性、製造統合」である。見出しだけで採用せず、用途と運用条件で再現できるかを確認する。

事業への読み

事業会社は現在の認定・調達・製品ロードマップへの影響を比較する。材料・装置・技術企業は、材料特性を工程制御、界面挙動、顧客受入データへ接続する。

ACTION

30日以内に、統合・劣化・システムのトレードオフ後も残る性能を優先する。結果と担当者をP04の評価票へ記録する。

UNKNOWN

記事だけでは確定しない項目: 再現性、界面安定、工程適合、原価、認定。

編集スコア 18/25 | 成熟度 1/5 | 判断場所: 技術・工程

FACTは収集記事に接続し、事業への読み、ACTION、UNKNOWNは編集判断として分離する。

P05 ゲルマニウム・テルル化物|単一材料でメモリセルとセレクタを両立する性能と構造

A08 | 市場採用 | 研究

日付未収録

FACT

単一の二元材料であるゲルマニウム・テルル化物(GeTe)を用いて、メモリセルとセレクタの両方の機能を実装することに成功した。テルル含有量を調整することで機能を使い分け、GeTeメモリ層とテルルリッチなGeTe6セレクタ層を積層したモノリシックな1S1Rデバイスを実現している。これにより、従来は異なる材料を用いていたため複雑だった製造プロセスを簡素化し、コスト削減と高密度化が可能になる。

なぜ重要か

判断上の焦点は「測定可能な機能、信頼性、製造統合」である。見出しだけで採用せず、用途と運用条件で再現できるかを確認する。

事業への読み

事業会社は現在の認定・調達・製品ロードマップへの影響を比較する。材料・装置・技術企業は、材料特性を工程制御、界面挙動、顧客受入データへ接続する。

ACTION

30日以内に、統合・劣化・システムのトレードオフ後も残る性能を優先する。結果と担当者をP05の評価票へ記録する。

UNKNOWN

記事だけでは確定しない項目: 再現性、界面安定、工程適合、原価、認定。

編集スコア 18/25 | 成熟度 1/5 | 判断場所: システム・導入

P06 S4テラヘルツメタサーフェス|堅牢なQuasi-BICの実現と作製誤差への耐性

A04 | 組成 | 研究

日付未収録

FACT

S4点群対称性を利用した2層構造のテラヘルツメタサーフェスにより、作製誤差に強い堅牢なQuasi-BIC(準束縛状態)を実現した。この構造は、層間のずれが|Dx| ≤ 42 μmの範囲であっても、共鳴周波数の変動を0.01 THz未満に抑え、Q値を10^2以上に維持できる。これにより、従来の単層構造で課題となっていた極めて狭い作製公差を大幅に緩和し、実用的なデバイス応用への道を開く。

なぜ重要か

判断上の焦点は「測定可能な機能、信頼性、製造統合」である。見出しだけで採用せず、用途と運用条件で再現できるかを確認する。

事業への読み

事業会社は現在の認定・調達・製品ロードマップへの影響を比較する。材料・装置・技術企業は、材料特性を工程制御、界面挙動、顧客受入データへ接続する。

ACTION

30日以内に、統合・劣化・システムのトレードオフ後も残る性能を優先する。結果と担当者をP06の評価票へ記録する。

UNKNOWN

記事だけでは確定しない項目: 再現性、界面安定、工程適合、原価、認定。

編集スコア 18/25 | 成熟度 1/5 | 判断場所: 技術・工程

FACTは収集記事に接続し、事業への読み、ACTION、UNKNOWNは編集判断として分離する。

P07 極低温用金属材料|PolyUが開発した冷脆性克服の新戦略と性能・実用化時期

A01 | 機能特性 | 試作

日付未収録

FACT

香港理工大学(PolyU)の研究チームが、極低温環境下での「冷脆性(低温脆化)」を克服し、高強度・延性・靭性を同時に実現する新しい金属材料を開発した。液体窒素温度(77 K / 約 -196°C)において、従来のトレードオフを打破する記録的な機械的特性を達成している。この成果は、深海や深宇宙探査などの極限環境向け次世代設備における、高性能でスケーラブルな材料基盤を提供するものである。

なぜ重要か

判断上の焦点は「測定可能な機能、信頼性、製造統合」である。見出しだけで採用せず、用途と運用条件で再現できるかを確認する。

事業への読み

事業会社は現在の認定・調達・製品ロードマップへの影響を比較する。材料・装置・技術企業は、材料特性を工程制御、界面挙動、顧客受入データへ接続する。

ACTION

30日以内に、統合・劣化・システムのトレードオフ後も残る性能を優先する。結果と担当者をP07の評価票へ記録する。

UNKNOWN

記事だけでは確定しない項目: 再現性、界面安定、工程適合、原価、認定。

編集スコア 18/25 | 成熟度 2/5 | 判断場所: 技術・工程

P08 ハイブリッドシリコンシーラント|シリカエアロゲル配合による耐火性能と強度の向上

A17 | 加工 | 製品採用

日付未収録

FACT

シリカエアロゲルとナノグラフェンフレークを配合した新しいハイブリッドシリコンシーラントが、標準的な耐火試験において60分以上の遮炎性と断熱性を維持することに成功した。従来の配合が約40分で耐性を失うのに対し、表面処理を施したナノ材料の導入により、耐火性能と機械的強度の両立を実現している。これにより、高層ビルの接合部における耐火性能の弱点という長年の課題を解決する可能性がある。

なぜ重要か

判断上の焦点は「測定可能な機能、信頼性、製造統合」である。見出しだけで採用せず、用途と運用条件で再現できるかを確認する。

事業への読み

事業会社は現在の認定・調達・製品ロードマップへの影響を比較する。材料・装置・技術企業は、材料特性を工程制御、界面挙動、顧客受入データへ接続する。

ACTION

30日以内に、統合・劣化・システムのトレードオフ後も残る性能を優先する。結果と担当者をP08の評価票へ記録する。

UNKNOWN

記事だけでは確定しない項目: 再現性、界面安定、工程適合、原価、認定。

編集スコア 18/25 | 成熟度 4/5 | 判断場所: 事業・制度・供給

FACTは収集記事に接続し、事業への読み、ACTION、UNKNOWNは編集判断として分離する。

P09 バイオハイブリッド・メッシュ発電機|心筋細胞による電力回収の仕組みと性能

A11 | デバイス統合 | 試作

日付未収録

FACT

マサチューセッツ大学アマースト校(UMass Amherst)などの研究チームが、心筋細胞の拍動から電力を回収する超薄型メッシュ発電機を開発しました。圧電素子を組み込んだ多孔質のメッシュ構造に細胞を統合させることで、従来の表面貼付型よりも高い出力密度を実現しています。この技術は、ペースメーカーなどの植込み型医療機器におけるバッテリー寿命の問題を解決する可能性を秘めています。

なぜ重要か

判断上の焦点は「測定可能な機能、信頼性、製造統合」である。見出しだけで採用せず、用途と運用条件で再現できるかを確認する。

事業への読み

事業会社は現在の認定・調達・製品ロードマップへの影響を比較する。材料・装置・技術企業は、材料特性を工程制御、界面挙動、顧客受入データへ接続する。

ACTION

30日以内に、統合・劣化・システムのトレードオフ後も残る性能を優先する。結果と担当者をP09の評価票へ記録する。

UNKNOWN

記事だけでは確定しない項目: 再現性、界面安定、工程適合、原価、認定。

編集スコア 18/25 | 成熟度 2/5 | 判断場所: システム・導入

P10 ProterialとFEV|アモルファス合金を用いたEV駆動モータの性能と軽量化効果

A13 | 市場採用 | 試作

日付未収録

FACT

ProterialとFEVが、アモルファス合金コアと重希土類フリー磁石を組み合わせたEV駆動モータのコンセプトをシミュレーションで評価しました。この構成により、ピーク出力が230 kWから300 kWへ向上し、モータ重量を27%削減できる可能性が示されました。資源制約のある重希土類への依存を排除しつつ、高効率・軽量化を実現する次世代モータの設計指針となります。

なぜ重要か

判断上の焦点は「測定可能な機能、信頼性、製造統合」である。見出しだけで採用せず、用途と運用条件で再現できるかを確認する。

事業への読み

事業会社は現在の認定・調達・製品ロードマップへの影響を比較する。材料・装置・技術企業は、材料特性を工程制御、界面挙動、顧客受入データへ接続する。

ACTION

30日以内に、統合・劣化・システムのトレードオフ後も残る性能を優先する。結果と担当者をP10の評価票へ記録する。

UNKNOWN

記事だけでは確定しない項目: 再現性、界面安定、工程適合、原価、認定。

編集スコア 18/25 | 成熟度 2/5 | 判断場所: 事業・制度・供給

関係者別プレイブックと0-5年ロードマップ

関係者	NOW | 0-30日	NEXT | 1-12か月	LATER | 1-5年
事業会社	統合・劣化・システムのトレードオフ後も残る性能を優先する	量産相当条件で受入基準と停止基準を明示して評価する。	技術・供給者の変更を吸収できるポートフォリオと設計へ移る。
材料・装置・技術企業	材料特性を工程制御、界面挙動、顧客受入データへ接続する	顧客と信頼性・工程窓・故障解析の共通データを作る。	界面、履歴、ライフサイクル支援、回収サービスを標準化する。
商社・投資・法務	Map 再現性、界面安定、工程適合、原価、認定.	能力、品質、変更通知、責任、代替、撤退を契約へ入れる。	地域・技術・顧客の集中リスクを分散する。

ロードマップ

NOW | 0-30日
証拠台帳
担当: Strategy + quality
成果物: claim, source, condition, owner

NOW | 0-30日
リスク選別
担当: Procurement + legal
成果物: unknowns, alternatives, stop

NEXT | 1-12か月
共同認定
担当: R&D + supplier
成果物: 工程窓・故障データ

NEXT | 1-12か月
商用ゲート
担当: Business + finance
成果物: 単位採算・供給能力

LATER | 1-5年
プラットフォーム戦略
担当: 経営
成果物: ポートフォリオ・界面ロードマップ

LATER | 1-5年
サービス層
担当: Operations + channel
成果物: 監視・保守・回復

Go / No-Goゲート

ゲート	担当	必要な証拠	中止条件
G1 証拠	品質	出典・試験条件・再現性	追跡可能な証拠なし
G2 統合	研究開発	界面・工程窓・故障解析	システム条件を満たさない
G3 商用	事業	能力・総原価・契約・代替	採算または供給が成立しない
G4 運用	運用	監視・保守・変更通知・撤退	責任ある運用計画なし

分析対象記事 | 01-09件目

全記事の正式タイトルと元記事URLを省略せず表示する。URLは折返しても全文を保持し、クリックできる。

ID	記事タイトル(全文)	元記事URL(全文・クリック可能)
A01	極低温用金属材料|PolyUが開発した冷脆性克服の新戦略と性能・実用化時期	https://www.miragenews.com/polyu-scholar-develops-cryogenic-metals-to-1768897/
A02	酸化ハフニウム|原子レベルのドメイン壁形成メカニズムと次世代メモリの高密度化	https://en.sedaily.com/technology/2026/10/28/korean-team-explains-how-hafnium-oxide-forms-atom-thin
A03	PUUコーティング|寒冷地ダム向け防氷被膜の氷付着強度2 kPa実現と耐久性能	https://www.european-coatings.com/news/coatings-technologies/puu-coating-cuts-ice-adhesion-to-2-kpa-for-cold-region-dams/
A04	S4テラヘルツメタサーフェス|堅牢なQuasi-BICの実現と作製誤差への耐性	https://www.miragenews.com/s4-terahertz-metasurface-creates-robust-quasi-1765735/
A05	CO2由来ビトリマー|炭素繊維複合材の引張強度とリサイクル性の比較性能	https://bioengineer.org/co2-derived-vitrimer-epoxy-matches-conventional-carbon-fiber-composites-in-tensile-strength-while-adding-recyclability/
A06	高エントロピー合金|相配列による酸化速度の変化と耐酸化性の制御メカニズム	https://bioengineer.org/phase-arrangement-alone-changes-oxidation-rate-of-a-high-entropy-alloy-by-nearly-fourfold/
A07	不均一メタレンズアレイ|XR向けライトフィールドディスプレイの視野角を50度に拡大	https://bioengineer.org/heterogeneous-metalens-array-widens-light-field-xr-displays/
A08	ゲルマニウム・テルル化物|単一材料でメモリセルとセレクタを両立する性能と構造	https://bioengineer.org/single-germanium-telluride-material-yields-both-memory-cell-and-selector/
A09	TiO2@SiO2/キトサンコーティング|卵の室温保存における鮮度維持性能と検証	https://bioengineer.org/fluorine-free-superhydrophobic-coating-keeps-eggs-fresher-at-room-temperature/

分析対象記事 | 10-17件目

全記事の正式タイトルと元記事URLを省略せず表示する。URLは折返しても全文を保持し、クリックできる。

ID	記事タイトル(全文)	元記事URL(全文・クリック可能)
A10	食品廃棄物由来バイオ炭|グラフェン複合体による蓄熱性能と漏出抑制の検証	https://bioengineer.org/food-waste-biochar-turned-graphene-hybrid-stores-heat-and-manages-moisture/
A11	バイオハイブリッド・メッシュ発電機|心筋細胞による電力回収の仕組みと性能	https://xenospectrum.com/en/biohybrid-mesh-piezoelectric-harvester-umass/
A12	バイオミメティック・メタマテリアル|蝶の羽に着想を得たantirradar・ antirruído 性能	https://www.inovacaotecnologica.com.br/noticias/noticia.php?artigo=asa-borboleta-supermaterial
A13	ProterialとFEV|アモルファス合金を用いたEV駆動モータの性能と軽量化効果	https://chargedevs.com/newswire/proterial-and-fev-simulate-an-amorphous-alloy-ev-traction-motor-without-heavy-rare-earths/
A14	アルター磁性とは|SLACがMnTeで実証した第三の磁性相と次世代電子デバイスへの応用	https://www.newswise.com/articles/slac-researchers-find-proof-of-altermagnetism-a-new-magnetic-phase/?ad2f=1&aid=857669
A15	高エントロピー合金|磁場退火による短程有序誘導と-72.30 dBの超強吸波性能	https://www.sohu.com/a/1092959957_122940509
A16	デュアルバンド・エレクトロクロミックディスプレイ|可視・近赤外線同時制御の性能と仕組み	https://bioengineer.org/flexible-dual-band-electrochromic-display-delivers-visible-and-near-infrared-vision/
A17	ハイブリッドシリコンシーラント|シリカエアロゲル配合による耐火性能と強度の向上	https://bioengineer.org/hybrid-silicone-sealant-withstands-fire-for-over-an-hour-in-building-joints/

機能性材料 採用記事全文集

出力日: 2026-11-01

採用記事数: 17 件

収録記事一覧

#01 極低温用金属材料｜PolyUが開発した冷脆性克服の新戦略と性能・実用化時期

#02 酸化ハフニウム｜原子レベルのドメイン壁形成メカニズムと次世代メモリの高密度化

#03 PUUコーティング｜寒冷地ダム向け防氷被膜の氷付着強度2 kPa実現と耐久性能

#04 S4テラヘルツメタサーフェス｜堅牢なQuasi-BICの実現と作製誤差への耐性

#05 CO2由来ビトリマー｜炭素繊維複合材の引張強度とリサイクル性の比較性能

#06 高エントロピー合金｜相配列による酸化速度の変化と耐酸化性の制御メカニズム

#07 不均一メタレンズアレイ｜XR向けライトフィールドディスプレイの視野角を50度に拡大

#08 ゲルマニウム・テルル化物｜単一材料でメモリセルとセレクタを両立する性能と構造

#09 TiO2@SiO2/キトサンコーティング｜卵の室温保存における鮮度維持性能と検証

#10 食品廃棄物由来バイオ炭｜グラフェン複合体による蓄熱性能と漏出抑制の検証

#11 バイオハイブリッド・メッシュ発電機｜心筋細胞による電力回収の仕組みと性能

#12 バイオミメティック・メタマテリアル｜蝶の羽に着想を得た antirradar・ antirruído 性能

#13 ProterialとFEV｜アモルファス合金を用いたEV駆動モータの性能と軽量化効果

#14 アルター磁性とは｜SLACがMnTeで実証した第三の磁性相と次世代電子デバイスへの応用

#15 高エントロピー合金｜磁場退火による短程有序誘導と−72.30 dBの超強吸波性能

#16 デュアルバンド・エレクトロクロミックディスプレイ｜可視・近赤外線同時制御の性能と仕組み

#17 ハイブリッドシリコンシーラント｜シリカエアロゲル配合による耐火性能と強度の向上

#01 極低温用金属材料｜PolyUが開発した冷脆性克服の新戦略と性能・実用化時期

公開日 2026年10月30日　Mirage News (PolyU)　中国



概要

香港理工大学（PolyU）の研究チームが、極低温環境下での「冷脆性（低温脆化）」を克服し、高強度・延性・靭性を同時に実現する新しい金属材料を開発した。液体窒素温度（77 K / 約−196°C）において、従来のトレードオフを打破する記録的な機械的特性を達成している。この成果は、深海や深宇宙探査などの極限環境向け次世代設備における、高性能でスケーラブルな材料基盤を提供するものである。

詳細

主要成果

香港理工大学のZibin CHEN助教授率いる研究チームは、極低温下で金属が脆くなる「冷脆性」を解決する2つの画期的なアプローチを開発し、その成果をNature Communications誌に相次いで発表した。特に、液体窒素温度（77 K、約−196°C）において、強度、延性、靭性の極めて高い組み合わせを実現した。これにより、航空宇宙、クリーンエネルギー、超伝導システム、深宇宙探査などの極限環境における材料のボトルネックが解消されることが期待される。

技術・詳細

チームは、ナノスケールの界面戦略を用いて内部微細構造を調整する2つの異なる手法を開発した。

- **「負曲率界面（NCI）」戦略：** 合金内部のナノ粒子の表面形状を変更することで、高負荷に耐えつつ変形能を維持させ、突然の破断を抑制する手法。これにより開発されたNiCoCr-AlTa（ニッケル、コバルト、クロム、アルミニウム、タンタル）からなる多主元素合金（MPEA）は、耐力 約1.30 GPa、引張強さ 約1.80 GPa、引張延性 50%、破壊靭性 約213 $MPa \cdot m^{1/2}$という記録的な特性を達成した。この手法は従来の溶解、圧延、短期間の時効処理で製造可能であり、大規模生産に適している。
- **「階層的ナノオーダー（HNOs）」戦略：** 3Dプリンティング（積層造形）と最適化された後処理を統合し、NiCoCrベースの合金に階層的なナノ構造を構築する手法。転位源を順次活性化させて協調的な加工硬化を可能にすることで、変形に伴い材料が強化される。液体窒素温度において、耐力 約2.0 GPa、引張強さ 約2.4 GPa、一様伸び 22%という記録的な強度を実現した。

背景・業界の文脈

極低温環境で使用される金属材料は、高い強度と延性、および破壊靭性を維持する必要がある。しかし、一般的に金属は低温になると強度は増すが、同時に脆くなる傾向があり、強度・延性・靭性の間には長年のトレードオフが存在していた。タイタニック号の沈没は、この低温脆性による破断に関連する有名な歴史的事例として知られている。今回の研究では、ナノ析出物を単なる強化材ではなく、変形を制御する「能動的な調整剤」へと転換させることで、この課題を克服した。

今後の展望

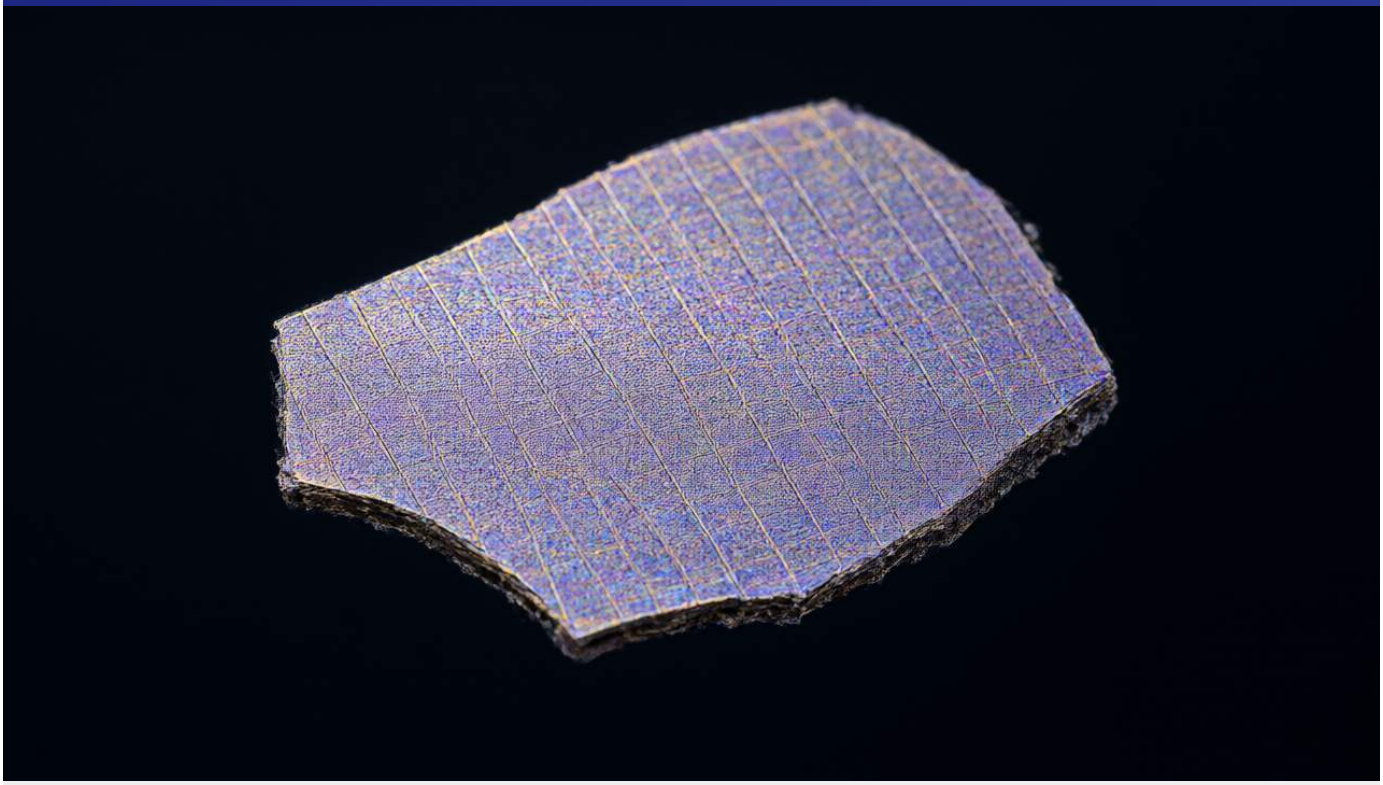
NCI戦略については、スーパーアロイや時効硬化鋼、アルミニウム合金など、あらゆる析出硬化合金系に適用可能であるとしており、今後10年以内の商業利用を目指して工業規模のサンプル検証を行う。また、3Dプリンティングを用いたHNOs戦略については、今後5年以内の商業展開を目標に、工業規模のコンポーネント検証を進める計画である。

元記事: https://www.miragenews.com/polyu-scholar-develops-cryogenic-metals-to-1768897/

収集日: 2026年10月31日 | 自動記事収集・翻訳システム (AI使用)

#02 酸化ハフニウム｜原子レベルのドメイン壁形成メカニズムと次世代メモリの高密度化

公開日 2026年10月28日　Seoul Economic Daily (English)　韓国



概要

韓国の研究チームが、次世代非揮発性メモリ材料である酸化ハフニウム（HfO_2）において、原子レベルの薄さで安定したドメイン壁が形成されるメカニズムを解明しました。この現象は「フォノン対凝縮（phonon-pair condensation）」と呼ばれる仕組みによるもので、原子分解能電子顕微鏡を用いた実験で実証されています。これにより、メモリユニットをよりコンパクトに配置することが可能となり、超高密度かつ低消費電力な半導体メモリ設計の基盤となることが期待されます。

詳細

主要成果

蔚山科学技術院（UNIST）のLee Jun-hee教授率いるチームと、浦項工業大学（POSTECH）のChoi Si-young教授率いるチームの共同研究により、酸化ハフニウム（HfO_2）内部の情報保存領域の境界である「ドメイン壁」が、なぜ原子レベルの薄さで安定して形成されるのかというメカニズムが特定されました。研究チームは、この現象の正体が「フォノン対凝縮」であることを突き止め、理論計算と実験の両面からこれを証明しました。

技術・詳細

酸化ハフニウムのような強誘電体材料は、外部電界に応じて内部の電気分極方向を変化させ、電源を切った後もその方向を保持できるため、分極方向を「0」と「1」に割り当てることで非揮発性メモリとして利用されます。同じ分極方向を持つ領域を「ドメイン」、その境界を「ドメイン壁」と呼びます。このドメイン壁が薄く安定しているほど、限られた面積により多くのドメインを詰め込めるため、メモリ密度を向上させることが可能です。

従来の単一モードに基づく強誘電体では、分極を担う主要なフォノン（格子の振動）モードがドメイン壁で抑制され、結晶構造が乱れるという課題がありました。そのため、逆方向の領域を繋ぐには数原子層の厚さを持つ不安定なバッファーゾーンが必要となり、境界形成に多大なエネルギーを消費することがデバイス微細化の障壁となっていました。

今回の研究で明らかになった「フォノン対凝縮」とは、単一のフォノンバンドの両端に位置する2つのフォノンモードがペアとして結合し、同時に動作する現象です。ドメイン境界で一方のモードが弱まると、もう一方のモードがそれを補うように現れ、隙間を埋めます。この相補的な働きにより、分極が180度反転する境界においても、周囲のバルクと同じ結晶対称性（$Pca2_1$）が維持されます。その結果、構造崩壊を伴うバッファーゾーンを必要とせず、追加のエネルギー消費もない、原子レベルに薄い「バルクのようなドメイン壁」が形成されることが分かりました。

この理論は、密度汎関数理論（DFT）による計算で予測され、その後、POSTECHチームが環状明視野走査透過電子顕微鏡（ABF-STEM）を用いて酸素原子の実際の配列を可視化することで検証されました。測定された酸素原子の方向と変位距離は、理論的な予測と定量的に一致しました。

背景・業界の文脈

酸化ハフニウムは、非常に薄い膜の状態でも強誘電性を維持できることに加え、既存の半導体製造プロセスとの互換性が極めて高いという利点を持っています。そのため、次世代の非導電性メモリを実現するための最有力候補材料の一つとされています。

今後の展望

UNISTのLee教授は、今回特定された原理を適用することで、安定した強誘電状態を維持したままドメイン壁の間隔を狭めることが可能になると述べています。この成果は、次世代メモリの記憶密度の飛躍的な向上に寄与すると期待されています。

本研究は、UNISTのLee Hyun-jae氏とPawan Kumar氏が共同第一著者となり、アメリカ物理学会の学術誌「Physical Review X」に8月18日付で掲載されました。

元記事: https://en.sedaily.com/technology/2026/10/28/korean-team-explains-how-hafnium-oxide-forms-atom-thin

収集日: 2026年10月31日 | 自動記事収集・翻訳システム (AI使用)

#03 PUUコーティング｜寒冷地ダム向け防氷被膜の氷付着強度2 kPa実現と耐久性能

公開日 2026年10月26日　European Coatings



概要

親水性表面を持つ二層構造のポリウレタン-尿素（PUU）防氷コーティングが開発され、–20 °Cにおいて2 kPaという極めて低い氷せん断強度を達成しました。このシステムはUV老化、摩耗、長期凍結後も耐久性を維持し、自然な力で氷を脱落させることが可能です。フッ素系材料や浸出する潤滑剤を使用せず、寒冷地の水力ダムにおける氷の引き抜き損傷という長年の工学的課題に対する受動的な解決策を提供します。

詳細

主要成果

研究チームは、寒冷地の水力ダムにおける氷の引き抜き損傷を軽減するため、親水性表面を備えた二層構造のポリウレタン-尿素（PUU）防氷コーティングを開発しました。このコーティング（BS750処方）は、–20 °Cにおいてわずか2 kPaという超低氷付着強度（氷せん断強度）を実現し、温度が–40 °Cまで低下しても11 kPaに抑えられることが確認されました。これにより、重力や風などの自然な力によって氷が容易に脱落することが実証されています。

技術・詳細

本技術の最大の特徴は、親水性成分をマトリックス全体に分散させるのではなく、表面層のみに配置した二層構造にある点です。構成は以下の通りです。

- **ベース層：**ポリアスパルテートエステル（F420）、ポリカプロラクトン（PCL）トリオール、HDIトリマー、およびNCO末端プレポリマーで構成されています。
- **親水性表面層：**メトキシポリエチレングリコール（MPEG）、ポリエチレングリコール（PEG）、ポリプロピレングリコール（PPG）、グリセロール、およびHDIトリマーをベース層にグラフトおよび架橋させることで形成されます。

走査電子顕微鏡（SEM）分析では、表面に多数の隆起状の突起が確認され、最適化されたBS750処方において、これらの突起がより顕著かつ高密度に配置されていることが判明しました。また、示差走査熱量測定（DSC）では–22.5 °Cに吸熱ピークが認められ、これは結合水の相変化に対応しています。この「凍結しない結合水」または界面の緩い氷が潤滑的な水和層として機能し、氷の脱離を促進していると考えられています。

背景・業界の文脈

寒冷地のコンクリートダムは、凍結や高湿度環境に常にさらされており、断熱層に氷が付着すると、氷の引き抜き荷重によって構造的な損傷が発生します。従来の受動的な防氷戦略として、超撥水コーティングや滑り性の高い潤滑剤注入表面（SLIPS）などが検討されてきましたが、これらは高湿度条件下での防氷性の喪失、時間の経過に伴う潤滑剤の枯渇、あるいはフッ素系材料による環境負荷といった課題を抱えていました。

今後の展望

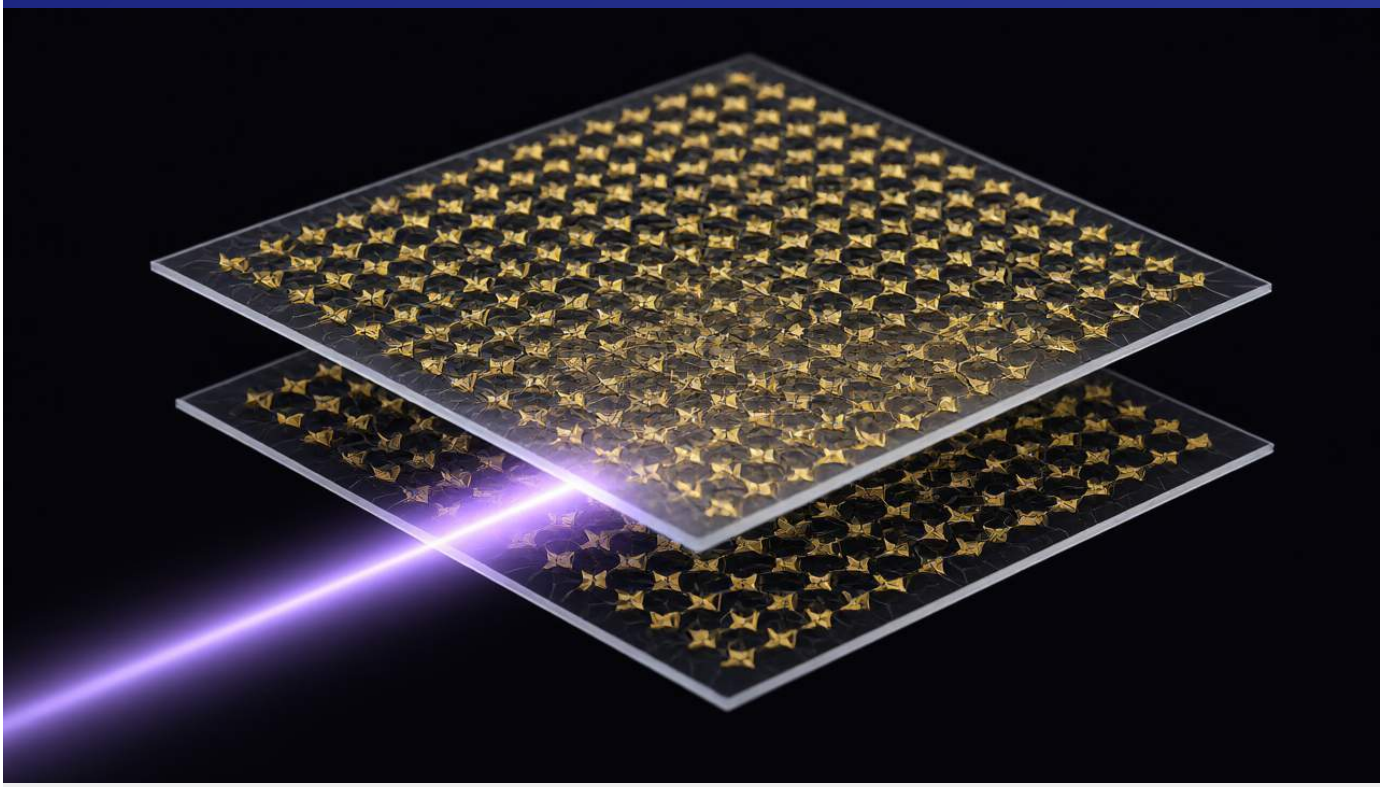
開発されたBS750コーティングは、UV老化、加熱、凍結、サンドペーパーによる摩耗、落砂摩耗、および長期凍結曝露を含む一連の耐久性試験後も、氷せん断強度を10 kPa以下に維持する安定した性能を示しました。フッ素化合物や浸出する潤滑剤を使用せず、機械的耐久性と超低氷付着強度を両立させたこの二層PUUコーティングは、寒冷地の水力インフラにおける断熱層向けの魅力的な受動的防氷ソリューションになると期待されています。

元記事: https://www.european-coatings.com/news/coatings-technologies/puu-coating-cuts-ice-adhesion-to-2-kpa-for-cold-region-dams/

収集日: 2026年10月31日 | 自動記事収集・翻訳システム (AI使用)

#04 S4テラヘルツメタサーフェス｜堅牢なQuasi-BICの実現と作製誤差への耐性

公開日 2026年10月24日　Mirage News (Science China Press)



概要

S4点群対称性を利用した2層構造のテラヘルツメタサーフェスにより、作製誤差に強い堅牢なQuasi-BIC（準束縛状態）を実現した。この構造は、層間のずれが|Dx| ≤ 42 μmの範囲であっても、共鳴周波数の変動を0.01 THz未満に抑え、Q値を10^2以上に維持できる。これにより、従来の単層構造で課題となっていた極めて狭い作製公差を大幅に緩和し、実用的なデバイス応用への道を開く。

詳細

主要成果

研究チームは、S4点群対称性に基づいた2層テラヘルツメタサーフェス設計戦略を提案し、従来のQuasi-BIC（QBIC）が抱えていた「堅牢性の低さ」と「極めて狭い作製公差」というボトルネックを突破した。この新構造は、同一の単層メタサーフェスをz軸方向に90°回転させて組み合わせ、反転対称性を破ることで構成されており、製造時のアライメント誤差や構造的な摂動に対しても安定した共鳴性能を維持することが実証された。

技術・詳細

本設計では、S4対称性が面内回転と面外反射を結合させることで、2つの異なる固有特性を持つSP-BIC（対称性保護束縛状態）を同時に構築している。具体的には、Γ点において自由空間の連続体はS4の2次元縮退表現Eに属し、TM1およびTM2モードはそれぞれ1次元既約表現A（χ(S4) = +1）とB（χ(S4) = -1）に対応する。Wigner-Eckartの定理に基づき、モードと放射チャネルの重なり積分が厳密にゼロとなるため、デュアルBICモードが形成される。対称性破りパラメータ$\alpha = \sin\theta$に伴うQ値の進化は、古典的なBICからQBICへの遷移と一致する逆二乗乗法（Q ∝ α^-2）に従う。

また、本構造の堅牢性を検証するため、層間の横方向変位パラメータDxを導入したシミュレーションを行った。その結果、|Dx| ≤ 42 μmという広い許容範囲内において、両QBICの共鳴周波数シフトは0.01 THz未満（相対変動0.33%未満）に留まり、Q値も10^2以上で安定して維持された。これは、摂動によってQ値が桁違いに崩壊する従来の構造とは対照的な結果である。マルチポール分解分析により、QBIC 1は磁気双極子共鳴、QBIC 2は電気四極子共鳴が支配的であり、これら異なる局所電磁応答の組み合わせが、アライメントミスに対する高い耐性を付与していることが明らかになった。

背景・業界の文脈

BIC（連続体中の束縛状態）は、放射連続体の中に存在しながら完全に閉じ込められた共鳴モードであり、理論上は無限のQ値（品質係数）を持つ。そのため、レーザー、フィルタ、センシングなどの分野で極めて高い応用潜在能力を持つ。特に、対称性を破ることでQ値を柔軟に調整できるSP-BICはメタサーフェス研究のホットトピックとなっている。しかし、主流であるC2対称性の単層メタサーフェスは、微小な波ベクトル摂動や作製欠陥によってQ値が激しく劣化するため、実用的なデバイスへの適用には高い作製精度が要求されることが大きな課題となっていた。

今後の展望

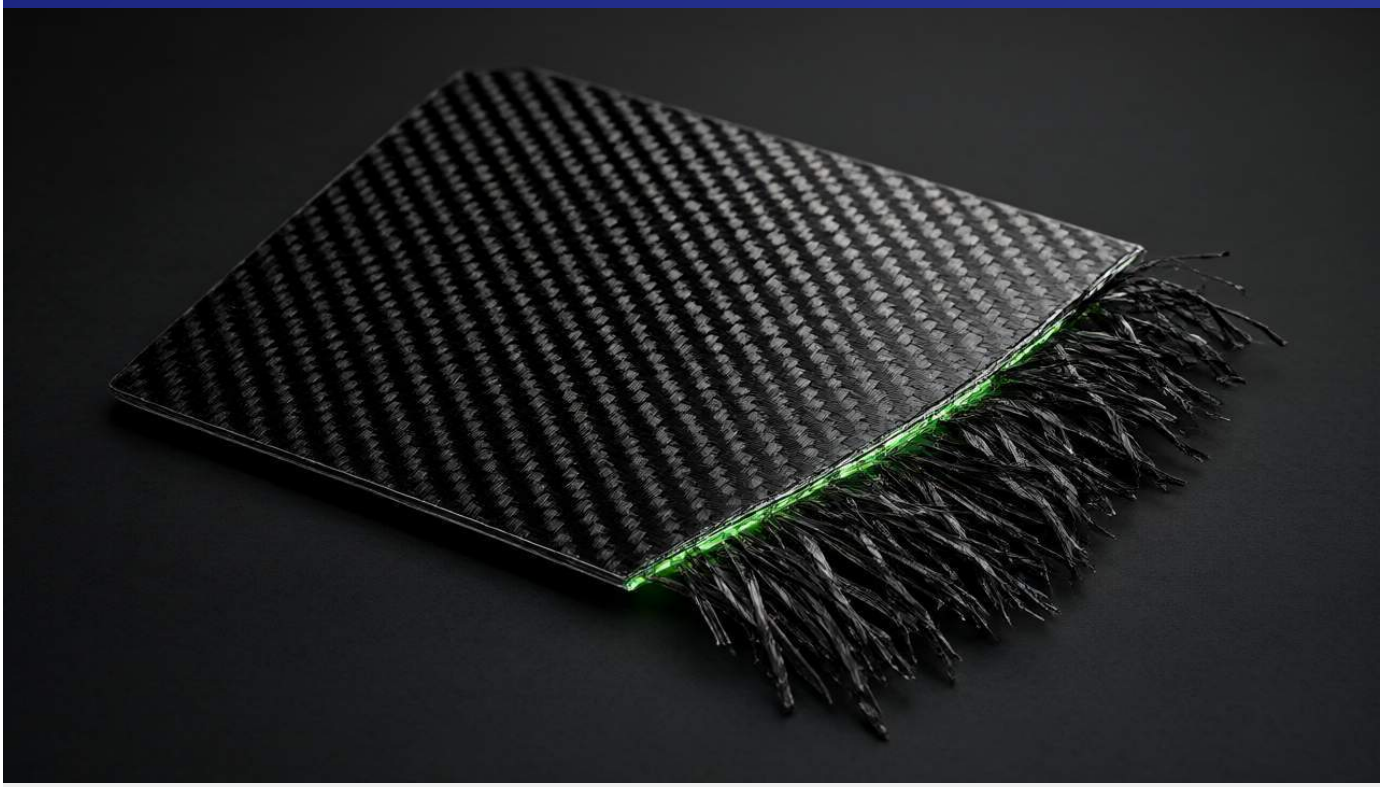
テラヘルツ時間領域分光法（THz-TDS）を用いた実験検証では、オフセットなし、-15 μmの左シフト、20 μmの右シフトという3種類のサンプルを作製した。大きな層間ずれがある場合でも、透過スペクトルにシミュレーションと一致するダブル共鳴ディップが明確に確認された。この成果は、3次元構成におけるSP-BIC生成の物理的本質への理解を深めると同時に、マイクロ・ナノデバイス作製における精度要件を大幅に緩和し、実用的な高Q共鳴デバイスの普及に寄与すると期待される。

元記事: https://www.miragenews.com/s4-terahertz-metasurface-creates-robust-quasi-1765735/

収集日: 2026年10月31日 | 自動記事収集・翻訳システム (AI使用)

#05 CO2由来ビトリマー｜炭素繊維複合材の引張強度とリサイクル性の比較性能

公開日 2026年10月28日　Bioengineer.org (Journal of Materials Science)　アメリカ



概要

CO2由来のビトリマーエポキシを用いた炭素繊維複合材が、従来の複合材と同等の引張強度を実現しつつ、リサイクル性を付加した。引張強度は495 MPaに達し、従来品（514 MPa）に匹敵する性能を示した。これにより、構造的性能を維持したまま、熱硬化性樹脂の最大の課題であった廃棄後のリサイクルが可能になる。

詳細

主要成果

CO2由来のビトリマー（vitrimer）マトリックスを用いた炭素繊維複合材が、従来の熱硬化性エポキシ樹脂を用いた複合材と同等の引張性能を維持しつつ、リサイクル性を実現したことが明らかになりました。引張試験において、ビトリマー複合材は引張強度495 MPa、ヤング率39 GPaを記録し、従来のエポキシ複合材の数値（引張強度514 MPa、ヤング率41 GPa）に匹敵する結果となりました。これにより、マトリックスをCO2由来のビトリマーに置き換えても、引張性能における損失は比較的少ないことが示されました。

技術・詳細

本研究では、ホットプレス成形を用いてビトリマー複合材を製作しました。ビトリマーは、従来の熱硬化性樹脂とは異なり、結合交換反応によるトポロジー再編成が可能です。この特性により、架橋ネットワークを維持したまま材料の修復や再処理が行えるため、リサイクルが可能となります。

一方で、曲げ試験では性能差が見られました。ビトリマー複合材の曲げ強度は385 MPa、曲げ弾性率は42 GPaであったのに対し、エポキシ複合材は曲げ強度667 MPa、曲げ弾性率45 GPaに達しました。この性能差は、ビトリマー特有の結合交換反応がもたらすマトリックスの軟化および界面剥離に起因すると分析されています。

動的機械分析（DMA）においても、ビトリマー複合材はエポキシ複合材と比較して貯蔵弾性率が低下し、ガラス転移温度の開始が早まる傾向が確認されました。これはビトリマーマトリックス内の分子可動性が高まっていることを意味しており、再処理には有利に働きますが、高温環境下での構造利用には制限が生じる可能性があります。また、走査電子顕微鏡（SEM）による破断面解析では、エポキシ複合材が脆性破壊を示すのに対し、ビトリマー複合材ではマトリックスの亀裂や繊維の引き抜け（fiber pull-out）が観察され、異なる損傷許容特性を持つことが示されました。

背景・業界の文脈

炭素繊維強化プラスチック（CFRP）は、その高い強度と剛性から高く評価されていますが、マトリックスに用いられる熱硬化性樹脂は一度硬化すると再成形ができないため、製品寿命後のリサイクルが極めて困難であるという課題を抱えてきました。本研究で用いられたCO2由来のビトリマーは、環境負荷の低減とリサイクル性の向上を同時に追求するアプローチとなっています。

今後の展望

リサイクル性能の検証では、再生後のビトリマー/炭素繊維複合材が曲げ強度256 MPa、曲げ弾性率40 GPaを維持することが確認されました。強度低下の原因は、初期破壊時に発生した繊維の破断によるものであり、再処理工程自体が炭素繊維の補強材を破壊したわけではないと結論付けられています。曲げ特性や熱機械的安定性は依然として従来のエポキシ樹脂に劣るものの、高い機械的完全性と再処理能力を両立させた本材料は、リサイクルコストの削減に寄与し、高性能な炭素繊維複合材アプリケーションへの適用可能性を広げると期待されています。

元記事: https://bioengineer.org/co2-derived-vitrimer-epoxy-matches-conventional-carbon-fiber-composites-in-tensile-strength-while-adding-recyclability/

収集日: 2026年10月31日 | 自動記事収集・翻訳システム (AI使用)

#06 高エントロピー合金｜相配列による酸化速度の変化と耐酸化性の制御メカニズム

公開日 2026年10月27日　BIOENGINEER.ORG　アメリカ



概要

高エントロピー合金において、化学組成や相の割合が同一であっても、相の空間的な配列（形態）だけで酸化速度が約4倍変化することが明らかになりました。850 °Cでの試験において、鋳造ままの状態と熱処理後の状態で酸化速度定数に3.8倍の差が確認されています。これにより、相形態が耐酸化性を制御するための独立した設計パラメータとして機能することが示されました。

詳細

主要成果

二相構造を持つ高エントロピー合金 AlCoCrFeNi(CuTiZr) において、相の空間的配置のみが酸化速度に劇的な影響を与えることが判明しました。化学組成、相の種類、および相分率がほぼ同一である条件で比較したところ、850 °Cのサイクル酸化試験において、鋳造まま（as-cast）の試料と高温アニール処理を施した試料の間で、酸化速度定数に約3.8倍の差（27.0×10^{-13} g^2 cm^{-4} s^{-1} 対 102.0×10^{-13} g^2 cm^{-4} s^{-1}）が生じました。これは、材料の化学的性質を変えずに、形態的な制御だけで耐酸化性を大幅に調整できる可能性を示唆しています。

技術・詳細

本研究では、Cr-Co-Feに富むFCC相とNi-Al-Tiに富むB2相（およびBCCドメイン）からなる合金を対象としています。鋳造ままの試料はデンドライト構造を持ちますが、1100 °Cで50時間のアニール処理と水冷を行うことで、相の同一性や分率を維持したまま、より空間的に均一な分布へと形態を変化させています。

温度帯によって酸化挙動は異なります。850 °Cでは拡散制限領域となり、相配列による速度差が顕著に現れました。一方、1050 °Cでは剥離が支配的な領域となり、質量減少が主となります。この高温域では、鋳造ままの試料で100–200 μm、アニール試料で500–600 μmの深さまでサブサーフェスボイド（空隙）が形成されており、これはアルミニウムやチタンの外方拡散に伴うカーケンダル効果によるものと考えられています。

酸化膜の構造は、外層酸化物、内層酸化物、および金属FCC遷移層の3層構造となっており、主にスピネル構造とCr2O3で構成されていました。特筆すべきはチタンの挙動で、850 °CではTiO2として外層に濃縮し密着性を高めますが、1050 °Cでは酸化フロントの進行速度が速いため、外方へ移動する前に内層で酸化されるという「キネティックゲート」のような挙動を示しました。

背景・業界の文脈

AlCoCrFeNi系の高エントロピー合金は、5種類以上の主要元素をほぼ等量で含有し、B2相の強度とFCC相の延性を兼ね備えています。また、従来の構造用合金よりも高濃度のアルミニウムやクロムを許容できるため、保護酸化皮膜を形成しやすい利点があります。しかし、800 °Cを超える高温域では、緻密で密着性の高い皮膜の維持が困難になります。特にクロミア（Cr2O3）皮膜は1000 °C付近で揮発性のCrO3に変化し、皮膜が薄くなるため、さらなる耐酸化性の向上が課題となっていました。

今後の展望

本研究は、相の形態（モルフォロジー）を独立した制御パラメータとして定義した点に意義があります。化学組成の変更に頼らず、熱処理による相配列の最適化のみで酸化速度を制御できることが示されたため、今後の高耐熱材料設計において、微細構造の空間配置を最適化する新たなアプローチが期待されます。

元記事: https://bioengineer.org/phase-arrangement-alone-changes-oxidation-rate-of-a-high-entropy-alloy-by-nearly-fourfold/

収集日: 2026年10月31日 | 自動記事収集・翻訳システム (AI使用)

#07 不均一メタレンズアレイ｜XR向けライトフィールドディスプレイの視野角を50度に拡大

公開日 2026年10月26日　BIOENGINEER.ORG　アメリカ



概要

不均一メタレンズアレイを用いることで、ライトフィールド近眼ディスプレイの視野角を従来の13度から約4倍の50度まで拡大することに成功した。各サブレンズを視野角領域に合わせて個別に最適化し、回折限界に近い画質を維持しつつ、軽量な単一光学素子で広視野角を実現している。これにより、従来のXRディスプレイで課題となっていた輻輳調節矛盾（VAC）を解消し、視覚的な疲労や眩暈を軽減できる可能性がある。

詳細

主要成果

研究チームは、不均一メタレンズアレイを採用することで、ライトフィールド近眼ディスプレイの視野角を50度に拡大した。これは、従来のライトフィールドディスプレイで報告されていた13度と比較して約4倍の広さとなる。また、統合グラフィックスを搭載した標準的なノートPCにおいて、140fps（フレーム/秒）で動作するリアルタイムレンダリングアルゴリズムを開発した。プロトタイプでは、10cmから70cmの範囲で物理的に正確なフォーカスおよびデフォーカス挙動を持つ3Dコンテンツの再構成を実現している。

技術・詳細

本技術の核心は、すべてのレンズユニットが同一構造を持つ従来の「均一」なマイクロレンズアレイから脱却し、各サブレンズを割り当てられた視野角領域に合わせてカスタマイズした「不均一」な構造を採用した点にある。各ユニットは、凸レンズに相当する「集光位相」と、光を方向転換させるプリズムに相当する「偏向位相」を組み合わせて構成されている。

このアプローチにより、複雑なオフアクシス（光軸外）イメージングの問題を、「近軸イメージング」と「線形偏向」という2つの単純な操作に分割することが可能になった。各視野角に最適化されたレンズを配置することで、実証された視野角全体にわたって回折限界に近い画質を維持している。また、量産への障壁を下げるため、高屈折率レジストを用いた低コストで大面積なナノインプリントプロセスを組み合わせ、アスペクト比7:1のセンチメートルスケール・メタレンズアレイを製造した。

ハードウェア面での変更に伴い、従来のライトフィールドレンダリングが前提としていた線形幾何投影関係が崩れるため、チームは非線形ボクセル-ピクセルマッピングルックアップテーブルに基づく専用の歪み補正アルゴリズムを開発し、高速なレンダリング速度を実現した。

背景・業界の文脈

従来の双眼視差に基づく近眼ディスプレイでは、目の輻輳（寄り目）と調節（ピント合わせ）の要求に矛盾が生じる「輻輳調節矛盾（VAC）」が発生し、これが視覚的な疲労や眩暈の原因となっていた。ホログラフィックやライトフィールドディスプレイはVACのない3D視聴を提供できるが、回折や収差によって視野角が本質的に制限されるという課題があった。特に従来のマイクロレンズアレイでは、視野角を広げるとオフアクシス収差が激しくなり、画質が急速に劣化する。これを複数のレンズ群や自由曲面で補正することは、デバイスの体積制限や製造上の限界から困難であった。

今後の展望

研究チームは、シミュレーションにおいて視野角を86度まで拡張できることを示した。これは人間の立体視の範囲である約80度をカバーするものとなるが、実現にはより大型のマイクロディスプレイが必要となる。本研究は、不均一メタレンズアレイが没入型XRデバイスに向けた広視野角ライトフィールドディスプレイを実現するための有効なハードウェアアプローチであることを示している。

元記事: https://bioengineer.org/heterogeneous-metalens-array-widens-light-field-xr-displays/

収集日: 2026年10月31日 | 自動記事収集・翻訳システム (AI使用)

#08 ゲルマニウム・テルル化物｜単一材料でメモリセルとセレクタを両立する性能と構造

公開日 2026年10月28日　Bioengineer.org (Applied Microscopy)　アメリカ



概要

単一の二元材料であるゲルマニウム・テルル化物（GeTe）を用いて、メモリセルとセレクタの両方の機能を実装することに成功した。テルル含有量を調整することで機能を使い分け、GeTeメモリ層とテルルリッチなGeTe6セレクタ層を積層したモノリシックな1S1Rデバイスを実現している。これにより、従来は異なる材料を用いていたため複雑だった製造プロセスを簡素化し、コスト削減と高密度化が可能になる。

詳細

主要成果

研究チームは、ゲルマニウム・テルル化物（GeTe）という単一の二元材料を用い、組成比を変えるだけでメモリセルとセレクタという2つの異なる役割を持たせることに成功した。具体的には、化学量論組成に近いGeTeをメモリ層に、テルルリッチなGeTe6をセレクタ層に配置し、これらを直接積層したモノリシックな1セレクタ1レジスタ（1S1R）クロスポイントデバイスを製作した。このデバイスは、約0.2ボルトの安定したメモリウィンドウを維持しながら、約800万回のスイッチングサイクルに耐える耐久性を示した。

技術・詳細

デバイスの機能は、薄膜に含まれるテルルの量によって決定される。研究チームは、高純度のゲルマニウムとテルルターゲットを用いた高周波マグネトロンスパッタリングにより、Ge0.11Te0.89からGe0.77Te0.23までの組成範囲を持つ薄膜を形成した。構造としては、厚さ20ナノメートルの機能層を、上下100ナノメートル厚のタングステン電極で挟み込んだホールエッチング構造を採用し、ホールサイズは34×34ナノメートルから1921×1921ナノメートルまで幅広く設定した。

化学分析の結果、テルルが不足している組成ではゲルマニウム・テルル結合が支配的となり、相変化メモリセルとして機能することが分かった。一方、テルルが過剰な組成では、テルル同士のホモポーラ結合が形成され、これがアモルファスカルコゲナイドにおける閾値スイッチングのメカニズムとなる局在トラップ状態の密度を高める。電気的特性において、GeTeメモリセルは結晶相とアモルファス相の抵抗コントラストを利用してデータを保存し、単体で約500万回のプログラム・消去サイクルに耐えた。また、GeTe6セレクタは、閾値電圧以下では1ギガオーム以上の高抵抗状態（OFF状態）となり、閾値を超えると1ボルトで1キロオーム以下の低抵抗状態へ急激に移行する双方向閾値スイッチとして動作し、1億回のサイクル後も安定して動作した。

背景・業界の文脈

高密度メモリ設計において、ビットを保存するメモリセルと、隣接セルへの迷走電流（スニークカレント）を防ぐセレクタを組み合わせることは不可欠である。従来、相変化メモリには揮発性カルコゲナイドであるオボニック閾値スイッチ（OTS）がペアとして用いられてきたが、これらは通常、異なる材料システムを必要とする。そのため、それぞれの層で異なる堆積レシピや最適化、リソグラフィ工程が必要となり、製造コストと複雑さが増大することが業界のボトルネックとなっていた。

今後の展望

本研究のように、単一の二元材料の組成のみでメモリ機能と閾値スイッチング機能の両方を制御できれば、両方の層を単一のクラスターシステムで堆積させ、一度のモノリシックなリソグラフィ工程でパターン形成することが可能になる。これは、ストレージクラスメモリ（SCM）などの次世代メモリの経済的な高密度化を実現するための重要なアプローチとなる。

元記事: https://bioengineer.org/single-germanium-telluride-material-yields-both-memory-cell-and-selector/

収集日: 2026年10月31日 | 自動記事収集・翻訳システム (AI使用)

#09 TiO2@SiO2/キトサンコーティング｜卵の室温保存における鮮度維持性能と検証

公開日 2026年10月28日　BIOENGINEER.ORG



概要

フッ素を含まない水ベースの超撥水コーティングにより、室温保存における卵の鮮度低下を抑制できることが報告された。TiO2@SiO2粒子とキトサンを用いたこのコーティングは、25 ± 1 °Cで49日間保存した卵の重量減少と微生物汚染を低減させた。これにより、冷蔵設備のない環境下での食品保存期間の延長や安全性の向上が期待される。

詳細

主要成果

研究チームは、TiO2@SiO2粒子とキトサンで構成される水ベースのフッ素フリー超撥水コーティングを開発し、室温保存における卵の品質維持性能を実証した。25 ± 1 °Cの環境下で49日間の保存試験を行った結果、このコーティング（H2O-CS/TiO2@SiO2）を施した卵は、重量減少率が約8.2%に抑えられた。これは、未処理の対照群が示した約10.8%という数値と比較して有意な減少である。

技術・詳細

本技術の核心は、フッ素系添加剤を使用せずに高い撥水性を実現した点にある。TiO2@SiO2粒子が無機構造修飾剤として機能し、水 repellency（撥水性）に必要な粗い表面テクスチャを形成している。コーティングの性能をガラスを用いて測定したところ、純粋なキトサンのみのコーティングでは静的水接触角が82.2°であったのに対し、TiO2@SiO2粒子を添加したエタノールベースの処方（EtOH-CS/TiO2@SiO2）では163.8°、水ベースの処方（H2O-CS/TiO2@SiO2）では171.5°まで向上した。

卵の内部品質に関する指標においても、保存49日時点でコーティング済みの卵はHaugh unit（ハウユニット）約50.8を維持した。また、卵白のpH変化や卵黄指数（yolk index）の変動が遅延したことも確認されており、これらは卵の鮮度を示す重要な指標となる。

微生物汚染の抑制効果についても顕著な結果が得られた。保存49日目におけるH2O-CS/TiO2@SiO2群の微生物数は、卵殻表面の総生存菌数が157.6 ± 17.3 CFU/egg、卵黄の総生存菌数が241.1 ± 25.6 CFU/eggであり、未処理の対照群に比べて汚染が低減していた。

背景・業界の文脈

通常、卵を室温で保存すると、水分喪失や品質劣化、微生物による汚染が急速に進行する。これを防ぐためのコーティング技術において、従来の超撥水剤にはフッ素化合物が用いられることが多かったが、環境負荷や安全性の観点からフッ素フリーの代替技術が求められていた。本研究では、生体適合性のあるキトサンと無機粒子を組み合わせることで、安全かつ高性能なバリア層を構築している。

今後の展望

食用部分への影響についても評価が行われており、H2O-CS/TiO2@SiO2コーティングを施した卵の総チタン（Ti）含有量は0.94 ± 0.07 mg/kgであり、未処理群の0.83 ± 0.08 mg/kgと大きな差がないことが示された。本研究の結果は、特定の試験条件および期間（49日間）におけるものであるが、フッ素フリーの水ベースコーティングが室温保存における卵の重量減少と微生物汚染を抑制し、内部品質を維持できることを結論づけている。本成果は、オープンアクセス論文として「Discover Food」誌に掲載された。

元記事: https://bioengineer.org/fluorine-free-superhydrophobic-coating-keeps-eggs-fresher-at-room-temperature/

収集日: 2026年10月31日 | 自動記事収集・翻訳システム (AI使用)

#10 食品廃棄物由来バイオ炭｜グラフェン複合体による蓄熱性能と漏出抑制の検証

公開日 2026年10月29日　BIOENGINEER.ORG　アメリカ



概要

食品廃棄物を原料としたバイオ炭とグラフェンのハイブリッド材料により、高効率な蓄熱と水分管理を実現する複合体が開発されました。この材料に相変化物質（PCM）のドコサンを封入したところ、1000回の加熱・冷却サイクル後も最大90.2%の潜熱を保持し、未処理のバイオ炭複合体比で潜熱が72.0%向上しました。これにより、有機PCMの長年の課題であった融解時の漏出と熱伝導率の低さが改善され、換気システムの温度緩衝材としての実用性が高まります。

詳細

主要成果

研究チームは、混合食品廃棄物をエンジニアリングしたバイオ炭とグラフェンのハイブリッド材料を開発し、相変化物質（PCM）であるパラフィン（ドコサン）を封入することで、優れた蓄熱性能と耐久性を実証しました。特に最適化した配合では、1000回の加熱・冷却サイクル後も潜熱の90.2%を保持し、未処理のバイオ炭を用いた複合体と比較して潜熱が72.0%向上しました。また、融点以上の70 degrees Celsiusでの漏出テストにおいて、質量損失を13.2 ± 0.82%に抑制し、未処理システムの17.4 ± 0.77%よりも優れた封止性能を示しました。

技術・詳細

製造プロセスでは、まず混合食品廃棄物を400 degrees Celsiusで1時間熱分解してバイオ炭を生成し、これを水酸化カリウムと1:0.5の比率で混合後、600、700、または800 degrees Celsiusで炭化させました（FK6, FK7, FK8）。その後、エタノールに分散させたグラフェン溶液に浸漬させるディップコーティング法により、バイオ炭質量に対し約1 weight percentのグラフェンを被覆させ、FK6G, FK7G, FK8Gのハイブリッド材料を合成しました。

構造解析の結果、700 degrees Celsiusで処理したFK7Gが最も優れた特性を示し、BET比表面積は323.1 square meters per gram、全細孔容積は0.582 cubic centimeters per gramに達しました。この骨格にドコサンを真空含浸させた複合体（FK7G/C22）は、融点47.6～48.4 degrees Celsius、結晶化点37.5～38.3 degrees Celsiusとなり、融解エンタルピーは93.1 joules per gramを記録しました。これは天然グラファイト由来のグラフェンを用いた複合体の値（95.6 joules per gram）に匹敵する性能であり、少量の添加で代替可能であることを示唆しています。

熱輸送性能においても、FK7Gの導入により熱拡散率が純粋なドコサン比で約188.3%向上しました。これはグラファイト骨格が効果的な熱伝達ネットワークを形成したためと考えられています。

背景・業界の文脈

相変化物質（PCM）は、融解と結晶化の際に一定温度で大量の熱を蓄積・放出するため、換気システムの温度変動を緩和する緩衝材として期待されています。しかし、ドコサンのような有機パラフィンは、純粋な状態では融解時の漏出、低い熱伝導率、繰り返しサイクルによる蓄熱容量の低下という課題がありました。従来の多孔質炭素（グラフェンや活性炭）による封入手法は、形状安定性の不足や製造コストの高騰、エネルギー集約的な製造プロセスがネックとなっていました。

今後の展望

本研究で開発された複合体は、22 degrees Celsiusから60 degrees Celsiusの間で1000回のサイクル試験に耐え、これは1日1サイクルの運用と仮定すると約3年間のエネルギー回収換気システムの動作に相当します。食品廃棄物を原料とするバイオ炭を利用することで、環境負荷を低減しつつ、高価な鉱山由来のグラファイトを少量で代替できる可能性が示されました。今後は、紙膜に結合させて換気システムにおける熱と水分の同時管理への応用が期待されます。

元記事: https://bioengineer.org/food-waste-biochar-turned-graphene-hybrid-stores-heat-and-manages-moisture/

収集日: 2026年10月31日 | 自動記事収集・翻訳システム (AI使用)

#11 バイオハイブリッド・メッシュ発電機｜心筋細胞による電力回収の仕組みと性能

公開日 2026年10月24日　XenoSpectrum　アメリカ



概要

マサチューセッツ大学アマースト校（UMass Amherst）などの研究チームが、心筋細胞の拍動から電力を回収する超薄型メッシュ発電機を開発しました。圧電素子を組み込んだ多孔質のメッシュ構造に細胞を統合させることで、従来の表面貼付型よりも高い出力密度を実現しています。この技術は、ペースメーカーなどの植込み型医療機器におけるバッテリー寿命の問題を解決する可能性を秘めています。

詳細

主要成果

マサチューセッツ大学アマースト校のJun Yao准教授とSiqi Wang博士らは、コネチカット大学と共同で、心筋細胞の拍動を電気に変換する「バイオハイブリッド・メッシュ・ハーベスター」を開発しました。このデバイスは、従来の発電機のように臓器の表面に貼り付けるのではなく、超薄型メッシュの中に心筋細胞を培養して組織とデバイスを一体化させる手法を採用しています。本研究の結果は、2026年10月発行のScience Advances（Vol. 12, Issue 41）に掲載されました。

技術・詳細

開発されたメッシュは7 mm × 8 mmの面積を持ち、圧電材料であるチタン酸ジルコン酸鉛（PZT）の微小リボンが16行×4列に配置されています。各PZT素子のサイズは約50 μm幅、約470 μm長で、長軸方向に4つの素子が直列に接続されて1つの発電ユニットを構成しています。メッシュの配線リボンは幅約20 μm、厚さわずか3.7 μmという極薄構造です。この構造は、1.5 μm厚のポリイミド（PI）下層、プラチナ（Pt）薄膜配線層、2 μm厚のSU-8絶縁保護層で構成されており、曲げ剛性は約3.42 × 10^{-13} N·m²と非常に低く、生体組織の変形に追従できる柔軟性を備えています。

製造プロセスでは、ゾルゲル法でPZT薄膜を形成した後、150°Cで150 kV/cmのDC電界を印加して分極処理を行っています。また、水素過酸化物溶液を用いてゲルマニウム犠牲層を溶解させることでシリコン基板からメッシュを切り離し、ポリ-D-リシンとマトリゲルで表面処理を施すことで、心筋細胞の接着性を高めています。事前の機械的変形テスト（歪み約0.1%）では、各PZT素子で平均0.49 ± 0.011 Vの開回路電圧パルスが確認されました。

背景・業界の文脈

心拍や呼吸などの運動を電気に変換する「エネルギーハーベスティング」は、植込み型医療機器の電源として長年研究されてきました。しかし、従来の圧電発電機はポリマーフィルムなどの支持基板に素子を形成して心臓表面に貼付する形式が多く、生体組織との剛性のミスマッチが課題でした。素材が硬すぎると組織の自然な動きを妨げるだけでなく、発電に必要な変形を十分に抽出できません。また、支持基板が体積の大部分を占めるため、単位体積あたりの出力密度が低くなる傾向にありました。

今後の展望

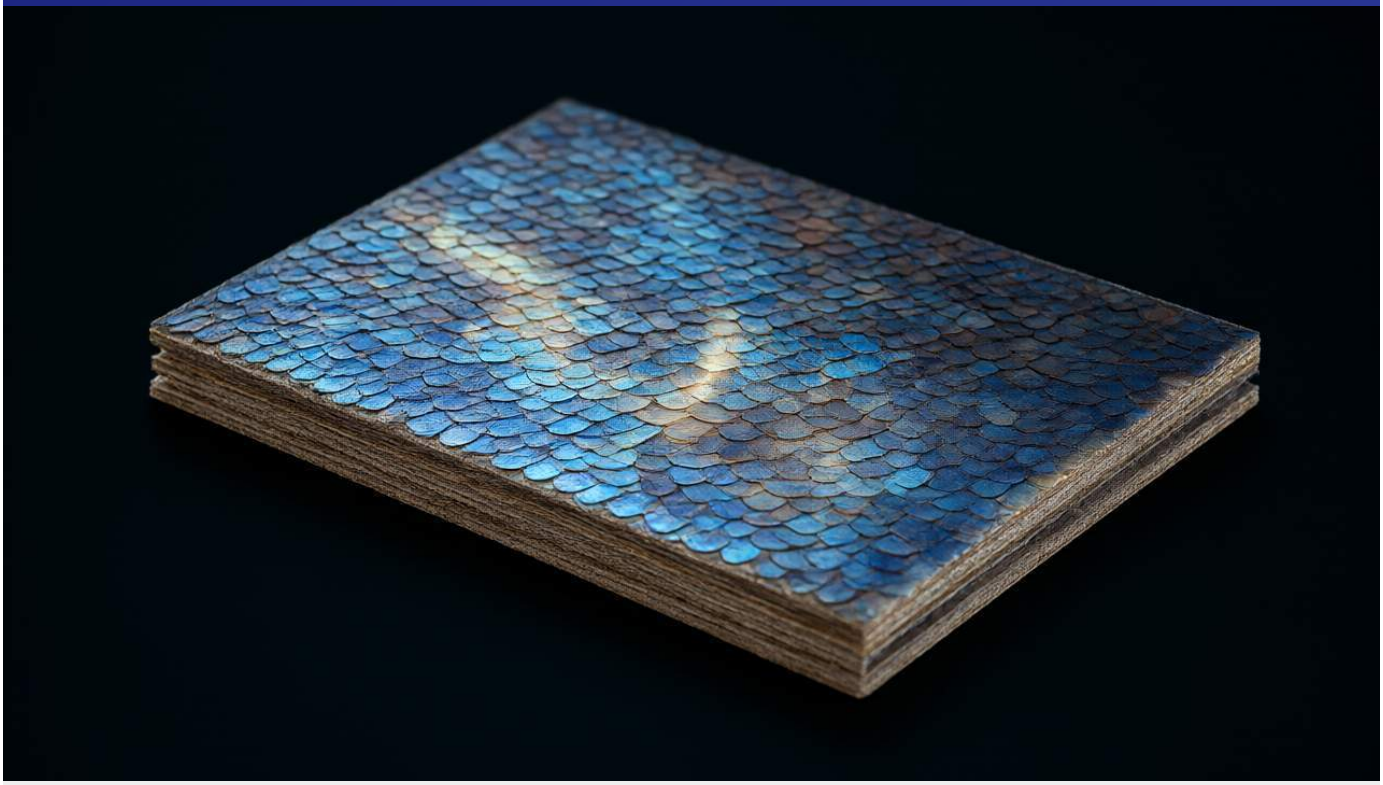
本研究では、多孔質のメッシュ構造を用いることで、細胞がメッシュの隙間に成長して配線を包み込む形となり、細胞の収縮が直接PZT素子の曲げに伝わる仕組みを実現しました。これにより、柔軟性と発電性能の両立を図っています。ただし、本成果はヒト細胞由来の培養心筋細胞を用いたin vitro（試験管内）での概念実証段階です。生体内で動作することや、実際にペースメーカーのバッテリーを代替できることはまだ実証されていません。

元記事: https://xenospectrum.com/en/biohybrid-mesh-piezoelectric-harvester-umass/

収集日: 2026年10月31日 | 自動記事収集・翻訳システム (AI使用)

#12 バイオミメティック・メタマテリアル｜蝶の羽に着想を得た antirradar・ antirruído 性能

公開日 2026年10月28日　Inovação Tecnológica　ブラジル



概要

中国のハルビン工業大学の研究チームが、蝶や蛾の羽の構造を模倣した、厚さ24mmの多機能メタマテリアルを開発しました。この素材は高強度な構造維持と、マイクロ波の吸収（ステルス性能）、低周波騒音の遮断という、相反する3つの機能を同時に実現しています。これにより、航空機や高速鉄道、電気自動車における重量削減と遮蔽性能の向上が期待されます。

詳細

主要成果

ハルビン工業大学のJianbin Feng氏らの研究チームは、構造的な強度を維持しながら、電磁波の吸収と低周波騒音の低減を同時に実現する多機能メタマテリアルを開発しました。この素材は厚さわずか24mmでありながら、従来の構造的な課題であった「空隙（ポーラス構造）の確保」と「物理的強度の維持」というジレンマを解消しています。具体的には、1,750kgの車両のタイヤ下で、一角に438kgの荷重がかかっても亀裂が入らずに耐える高い耐荷重性能を示しました。

技術・詳細

本素材は、蝶や蛾の鱗粉に見られる微細な多機能構造を模倣したバイオミメティック（生物模倣）設計を採用しています。技術的な詳細は以下の通りです。

- **構造設計：** 従来のハニカム構造で問題となる鋭角なコーナーを排除し、緩やかな曲線を持つ「ジャイロイド（gyroidal）」経路を採用しました。これにより、衝撃エネルギーの吸収効率が標準的なハニカム構造の21.9倍に向上し、破壊ではなく秩序ある変形によって衝撃を吸収します。
- **電磁波吸収：** ジャイロイド構造の内部にカーボンナノチューブとカーボンブラックのペーストを充填しました。これにより、2〜40 GHzの広帯域において、入射波の93.5%の範囲で90%以上の電力を吸収し、熱として消散させます。
- **騒音低減：** 各セルに微細な穴が開いたカバーを設置し、音響共鳴器として機能させています。これにより、商用ターボプロペラ機のキャビンで典型的な600〜900 Hzの周波数帯において、音響エネルギーの90%を捕捉・消散させます。

背景・業界の文脈

航空機や高速鉄道、電気自動車の設計において、乗客を保護する剛性構造、電子機器を守る電磁波遮蔽、エンジン音を抑える吸音材の3点は不可欠です。しかし、従来はこれらを個別の層（金属フレーム、電磁波吸収材、厚い吸音フォーム）として重ねて接着するしかなく、構造の肥大化、重量増加による燃費悪化、接着剤の疲労による剥離といった課題がありました。特に、吸音や電磁波のインピーダンス整合には高い空隙率が必要ですが、空隙を増やすと構造強度が低下し、逆に強度を高めると音や電磁波を反射してしまうという物理的なトレードオフが存在していました。

今後の展望

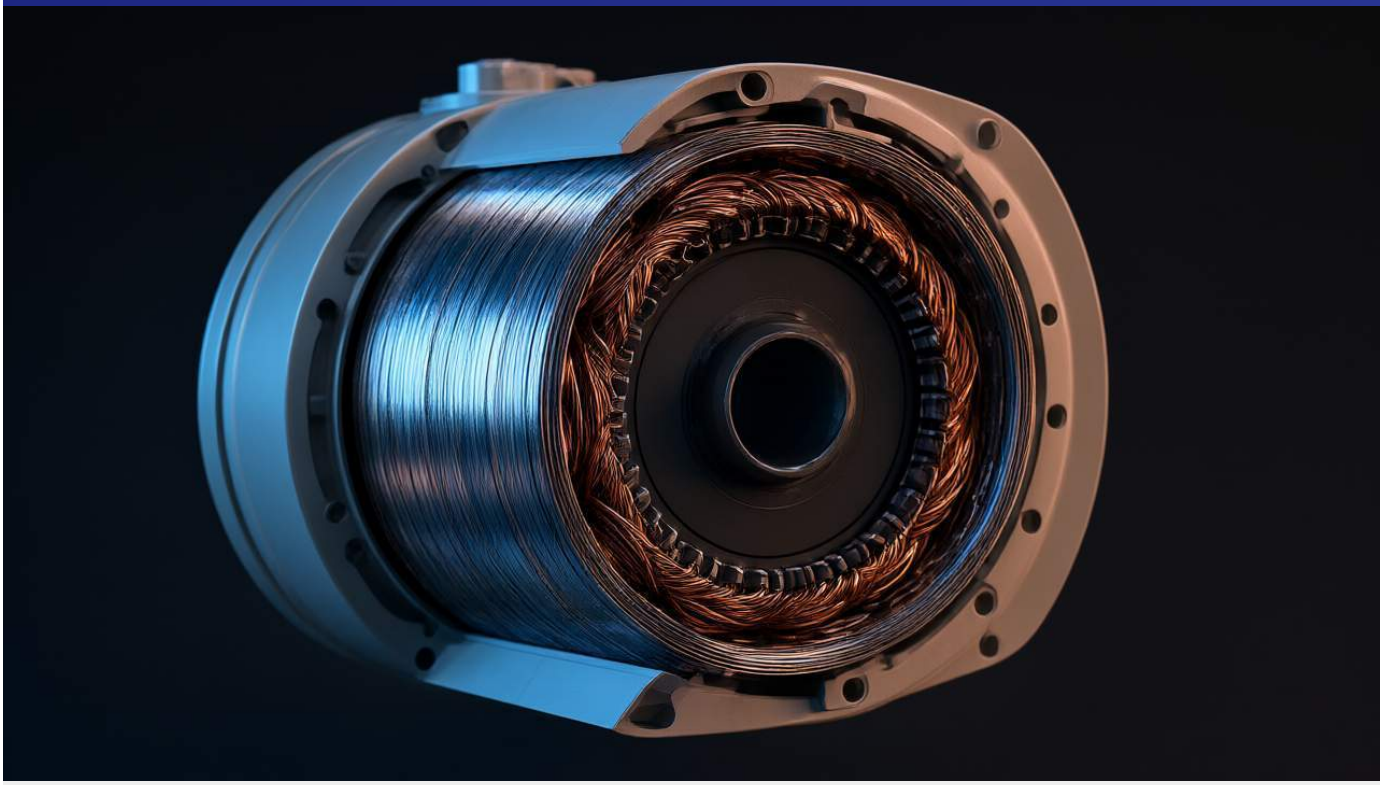
研究チームは、個別の用途に合わせて構造を最適に設計できるコンピュータシステムも構築しており、このバイオミメティック・メタマテリアルの実用的な導入を容易にするとしています。接着剤を完全に排除し、単一の薄い構造体で強度・ステルス・静粛性を同時に提供できるため、輸送機器の軽量化と高性能化に大きく寄与すると考えられます。

元記事: https://www.inovacaotecnologica.com.br/noticias/noticia.php?artigo=asa-borboleta-supermaterial

収集日: 2026年10月31日 | 自動記事収集・翻訳システム (AI使用)

#13 ProterialとFEV｜アモルファス合金を用いたEV駆動モータの性能と軽量化効果

公開日 2026年10月27日　Charged EVs　アメリカ



概要

ProterialとFEVが、アモルファス合金コアと重希土類フリー磁石を組み合わせたEV駆動モータのコンセプトをシミュレーションで評価しました。この構成により、ピーク出力が230 kWから300 kWへ向上し、モータ重量を27%削減できる可能性が示されました。資源制約のある重希土類への依存を排除しつつ、高効率・軽量化を実現する次世代モータの設計指針となります。

詳細

主要成果

材料メーカーのProterialとエンジニアリングサービスのFEVは、シミュレーションを通じて、アモルファス合金コア材料と重希土類（HRE）フリーのネオジウム焼結磁石を組み合わせたEV駆動モータのコンセプトを評価しました。その結果、ピーク出力が従来の230 kWから300 kWへと向上し、モータ重量を27%削減できる可能性が明らかになりました。また、走行サイクルにおけるモータ効率についても、WLTP Class 3サイクルで95.5%から97.9%へ、ARTEMIS MW 150ドライブサイクルで95.3%から97.4%へと上昇することが示されています。

技術・詳細

本コンセプトでは、溶融合金を急冷することで結晶構造を持たない金属である「アモルファス合金」をコア材料に採用しています。アモルファス合金は、一般的なモータコアに使用される電磁鋼板よりも鉄損が低いという特性があります。Proterialは、アモルファス合金リボンをモータコア用にパンチング加工することが可能にする、連続積層・接合プロセスを開発しました。

また、磁石にはテルビウムやジスプロシウムなどの重希土類を含まないネオジウム焼結磁石を使用しています。この磁石は、高い残留磁束密度と高い保磁力を両立させているのが特徴です。

FEVは、現代の乗用BEVを代表するシリコン鋼コア採用の230 kW駆動ユニットをリファレンスモデルとして構築し、電磁シミュレーションを用いてアモルファス合金の効果を検証しました。具体的な設計変更は以下の通りです。

- 最大モータ回転数：リファレンスの14,900 rpmから20,000 rpmへ引き上げ、アモルファス合金の低鉄損特性を最大限に活用。
- 減速比：10.8から14.4へ変更し、車両走行時の最大トルクと速度をリファレンスと同等に維持。
- 構成：極数を8極から12極へ変更。スロット数（72スロット）とステータ外径（200 mm）はリファレンスを維持し、有効長はリファレンスの77.1%に短縮。

背景・業界の文脈

EV駆動モータの製造において、テルビウムやジスプロシウムといった重希土類元素は、資源の制約や調達リスクという大きな課題を抱えています。これらの材料を排除しつつ、高性能な磁石を実現することは、サプライチェーンの安定化において極めて重要です。同時に、アモルファス合金による鉄損の低減は、EVの航続距離に直結するエネルギー効率の向上と、車両全体の軽量化に寄与します。

今後の展望

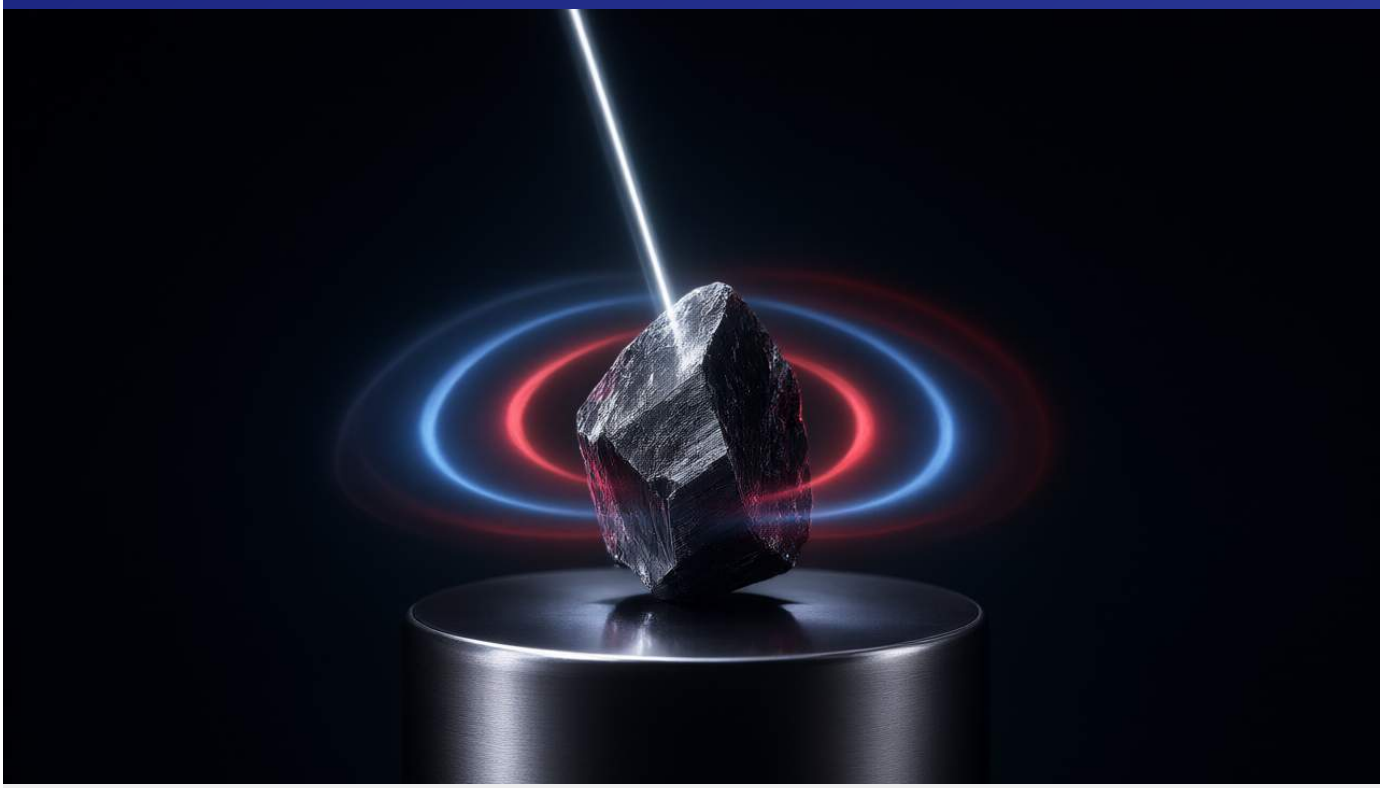
今回のシミュレーション結果は、材料レベルの革新（アモルファス合金および重希土類フリー磁石）と、それに最適化したモータ設計を組み合わせることで、出力向上と大幅な軽量化、そして高効率化を同時に達成できる可能性を示しています。

元記事: https://chargedevs.com/newswire/proterial-and-fev-simulate-an-amorphous-alloy-ev-traction-motor-without-heavy-rare-earths/

収集日: 2026年10月31日 | 自動記事収集・翻訳システム (AI使用)

#14 アルター磁性とは｜SLACがMnTeで実証した第三の磁性相と次世代電子デバイスへの応用

公開日 2026年10月29日　Newswise (SLAC National Accelerator Laboratory)　アメリカ



概要

SLAC（国立加速器研究所）を中心とする研究チームが、強磁性と反強磁性の両方の特性を併せ持つ第三の磁性相「アルター磁性（altermagnetism）」を実験的に証明した。マンガンテルル（MnTe）を用い、円偏光X線を用いて構造的な「カイラリティ（手性）」を検出したことで、理論的にのみ想定されていたこの相の存在を確定させた。この発見により、量子技術やメモリデバイス、データセンター向けの高度な電子機器設計に新たな道が開かれる。

詳細

主要成果

米国エネルギー省のSLAC国立加速器研究所が主導する研究チームは、材料における第三の磁性相である「アルター磁性」の決定的な実験的証拠を提示した。研究チームは、長年反強磁性物質と考えられていたマンガンテルル（MnTe）を調査し、この材料がアルター磁性体であることを証明した。この成果は、従来の磁性の二分法では説明できない現象を実証したものであり、学術誌『Science』に掲載された。

技術・詳細

磁性は電子のスピン（内部角運動量）の向きによって定義される。強磁性はすべてのスピンが同じ方向を向き、観測可能な磁場を生成する。一方、反強磁性はスピンが交互に並んで互いに打ち消し合うため、正味の磁気効果は現れない。アルター磁性は、この両者の性質を併せ持つ。具体的には、反強磁性のようにスピンが交互に並びながらも、正味の磁化を持たず、同時に強磁性のようにスピン電流を利用できるという、従来は相互に排他的と考えられていた特性を同時に示す。

今回の研究の鍵となったのは「カイラリティ（手性）」の検出である。アルター磁性体では、スピンが交互に並ぶ際、あるスピンを囲む結晶格子構造が、もう一方のスピンを囲む格子構造に対して回転しているという幾何学的なねじれが存在する。この対称性の破れが、鏡像と重ね合わせることができない「右手」と「左手」のような構造（カイラリティ）を生み出す。研究チームはフランスの欧州シンクロトロン放射光施設（ESRF）にて、高度に制御された円偏光X線ビームを用いてMnTeを分析した。カイラルな物質は左円偏光と右円偏光のX線を異なる方法で散乱させるため、この散乱信号を検出することで、アルター磁性の存在を物理的に証明することに成功した。

背景・業界の文脈

物理学の世界では、外部影響のない材料における磁性は、強磁性と反強磁性の2種類のみであると数十年にわたり認識されてきた。反強磁性の発見は1933年に遡るが、近年、この2つのカテゴリーに当てはまらない材料が観察されるようになった。2022年には、これらの特異な材料を区別するために「アルター磁性」という用語が提案された。しかし、反強磁性とアルター磁性の量子レベルでの微細な違いを区別する決定的な実験的証拠が不足しており、パズルの最後のピースであるカイラリティの証明が待たれていた。

今後の展望

アルター磁性という新しい磁性相の特定は、材料特性を自在に操作することを可能にし、次世代の電子デバイス開発に大きな影響を与える。具体的には、量子技術、次世代メモリデバイス、およびデータセンター向けの高度なハードウェア設計への応用が期待されている。

元記事: https://www.newswise.com/articles/slac-researchers-find-proof-of-altermagnetism-a-new-magnetic-phase/?ad2f=1&aid=857669

収集日: 2026年10月31日 | 自動記事収集・翻訳システム (AI使用)

#15 高エントロピー合金｜磁場退火による短程有序誘導と−72.30 dBの超強吸波性能

公開日 2026年10月26日　搜狐 (焦耳高温热冲击技术)　中国



概要

北京理工大学の研究チームが、磁場退火を用いて高エントロピー合金（HEA）の化学的短程有序（SRO）を誘導し、極めて高い電磁波吸収性能を実現した。FeCoNiCr系合金を用いたサンプルは、厚さわずか1.59 mmで−72.30 dBという超強力な反射損失と4.40 GHzの最大有効吸収帯域を達成した。本成果は、低周波帯（6 GHz以下）における「薄型・耐熱・広帯域」という電磁波吸収材料の困難な課題を解決する新たな設計指針を提示している。

詳細

主要成果

北京理工大学の曹茂盛チームと東南大学は、磁場退火によって高エントロピー合金（HEA）の局所的な原子配列を制御し、電磁波吸収性能を劇的に向上させることに成功した。特にFeCoNiCr系のサンプル（4E5-r）において、厚さ1.59 mmで反射損失（RL）最小値−72.30 dB、最大有効吸収帯域（EAB）4.40 GHzという極めて高い性能を記録した。また、85 ℃の高温環境下においてもEABの保持率が92.7%に達し、優れた耐熱安定性を示した。さらに、この材料を適用したU型マイクロストリップパッチアンテナの基板では、厚さ2.0 mmでS11最小値−55.882 dB（インピーダンス帯域1.878 GHz）を達成し、デバイスレベルでの実用性を検証している。

技術・詳細

研究チームは「二段階熱処理」というアプローチを採用した。第一段階では、酸化グラフェン上に1800 ℃、500ミリ秒という極めて短時間の「快速焦耳加熱（急速ジュール加熱）」を施し、FeCoNi、FeCoNiCr、FeCoNiCrCuの3系のHEAナノ粒子を合成した。第二段階では、600 ℃で0.5時間の磁場退火（0/0.5/0.95 T）を行い、化学的短程有序（SRO）を誘導した。

解析の結果、磁場退火はCoを中心とした局所的な原子再配列を促し、Co-Coの富集とCo-Cr/Co-Feの貧化を引き起こすことが判明した。第一原理計算（DFT）および原子モデル（VASP→DeepMD→LAMMPS）を用いた検証により、この局所的な配位構造の変化が電荷分布とスピン分極を決定し、誘電損失と磁気損失のバランスを最適化してインピーダンス整合性を高めたことが明らかになった。具体的に4E5-rでは、インピーダンス比|Zin/Z0|が0.9996という理想的な整合状態に達している。

背景・業界の文脈

5G/6G通信やレーダー、IoTの普及に伴い、6 GHz以下の低周波帯で動作し、かつ「薄型」で「耐熱性」を持つ電磁波吸収材料の需要が高まっている。しかし、低周波帯では波長が長いため吸収体が厚くなりがちであり、また材料の成分・導電率・界面の相互作用が複雑に絡み合うため、性能を精密に制御することが困難であった。特に、局所的な原子配列であるSROが電磁応答に与える影響については、これまで体系的な知見が不足していた。

今後の展望

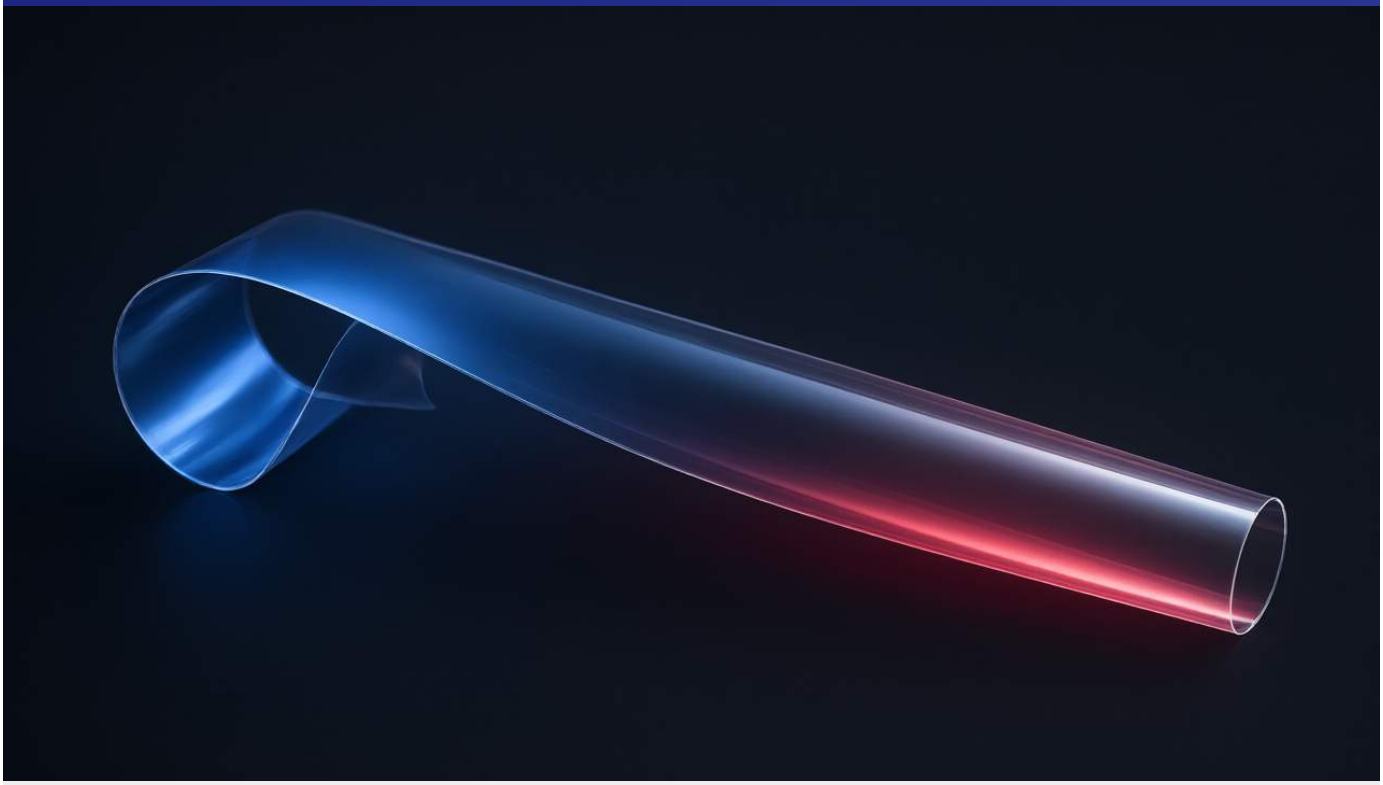
本研究は、磁場退火（MFA）がマイクロ波応答を調整するための有効なプロセス変数であることを立証した。また、実測した分散パラメータをベースに機械学習で最適化したメタ表面（超表面）の設計を行い、4.69 GHz付近でRLmin約−18.55 dB（有効吸収帯域4.12–5.43 GHz）を実現した。これにより、サブ6 GHz帯の低周波吸収をチップ統合やクロストーク抑制などの具体的なアプリケーションへ適用する道が開かれた。原子レベルの設計からデバイス統合までを完結させた本手法は、次世代の電磁波遮蔽・吸収材料の開発において重要な指針となる。

元記事: https://www.sohu.com/a/1092959957_122940509

収集日: 2026年10月31日 | 自動記事収集・翻訳システム (AI使用)

#16 デュアルバンド・エレクトロクロミックディスプレイ｜可視・近赤外線同時制御の性能と仕組み

公開日 2026年10月28日　Bioengineer.org (Scienmag)　アメリカ



概要

可視光と近赤外線の両方を単一の活性層で変調できる、フレキシブルな反射型ディスプレイが開発されました。低電圧（-2.0 V〜+1.0 V）の印加により、可視領域で167.2度の色相変化、近赤外領域（1270 nm）で38%の反射率変化を実現しています。これにより、人間とロボットの視覚システムの両方に同時に情報を伝達することが可能になります。

詳細

主要成果

研究チームは、単一の活性層内で可視光と近赤外線の両方を制御できるフレキシブルな反射型ディスプレイを開発しました。このデバイスは、人間による視覚的な確認と、マシンビジョン（ロボットセンサー）による認識を同時に実現することを目的としています。特に、霧が発生している環境や低照度下などの厳しい条件下においても、近赤外線を用いた堅牢なパターン認識が可能であることが実証されました。

技術・詳細

本技術の中核は、導電性ポリマーであるPEDOT:PSSと、電気的に調整可能な「ジレス・トゥルノワ共振器（Gires-Tournois resonator）」を組み合わせた点にあります。動作の仕組みは以下の通りです。

- **変調メカニズム：**-2.0 Vから+1.0 Vという低電圧範囲でPEDOT:PSSを電気化学的にドーピングすることで、ポリマーの複素屈折率を変化させ、2つの波長帯域で同時に高い反射コントラストを生成します。
- **光学性能：**可視光領域では167.2度の色相変化を達成し、近赤外領域では1270 nmにおいて38%の反射率変化を記録しました。
- **応答速度：**スイッチングダイナミクスは、立ち上がり時間が88 ms、立ち下がり時間が165 msとなっています。
- **アレイ実装：**単一ピクセルに留まらず、フレキシブル薄膜トランジスタ（TFT）バックプレーン上に4×4のアクティブマトリクス・ピクセルアレイを構築しました。約10^6の高いオン・オフ比と低いオフ電流、高い空間均一性を備えており、ピクセル間のクロストークが抑制され、独立した制御が可能です。

背景・業界の文脈

反射型ディスプレイは、超低消費電力で動作し、ウェアラブルプラットフォームやフレキシブルデバイスとの親和性が高いため、非常に魅力的な技術です。しかし、従来の電気泳動ディスプレイなどの動的に調整可能な反射型ディスプレイは、主に可視光スペクトル範囲に限定されていました。この制限により、照明条件が変動する環境下で、人間とロボットの両方に確実に情報を届けることが困難という課題がありました。

今後の展望

本プラットフォームの最大の技術的進歩は、可視光と近赤外線の変調を単一の活性層で行うデュアルバンド能力にあります。これにより、波長帯ごとに個別のディスプレイ機構を積層させる必要がなくなり、シンプルな構造で実装が可能です。低電圧駆動、フレキシブル構造、そしてデュアルバンド出力を兼ね備えたこの技術は、近赤外線センサーを利用するロボットと人間が共存する、混合視覚シナリオへの応用が期待されます。

元記事: https://bioengineer.org/flexible-dual-band-electrochromic-display-delivers-visible-and-near-infrared-vision/

収集日: 2026年10月31日 | 自動記事収集・翻訳システム (AI使用)

#17 ハイブリッドシリコンシーラント｜シリカエアロゲル配合による耐火性能と強度の向上

公開日 2026年10月29日　Bioengineer.org (Scienmag)



概要

シリカエアロゲルとナノグラフェンフレークを配合した新しいハイブリッドシリコンシーラントが、標準的な耐火試験において60分以上の遮炎性と断熱性を維持することに成功した。従来の配合が約40分で耐性を失うのに対し、表面処理を施したナノ材料の導入により、耐火性能と機械的強度の両立を実現している。これにより、高層ビルの接合部における耐火性能の弱点という長年の課題を解決する可能性がある。

詳細

主要成果

研究チームは、シリカエアロゲルとナノグラフェンフレークを添加した改良型シリコンシーラントを開発し、標準的な耐火試験（KS F 2845）において、60分以上の遮炎性および断熱性の基準を満たすことを実証した。対照群として用いた従来の配合では、非加熱面の温度上昇が約37分で臨界点に達し、約40分で火炎の貫通が確認され、基準を満たさなかった。特に表面修飾を施したナノ材料を用いた「実験グループ4」は、耐火性能だけでなく、機械的特性においても顕著な向上を示した。

技術・詳細

本技術の核心は、相補的な役割を持つ2つのナノ材料の活用にある。まず、空隙率が90%を超え、室温で約0.013 W/(m·K)という極めて低い熱伝導率を持つシリカエアロゲルが、熱伝達経路を遮断し、接合部非加熱面の温度上昇を抑制する。次に、厚さ約1ナノメートルのナノグラフェンフレークが物理的な障壁となり、ガスや熱の移動を妨げるとともに、酸素の侵入や可燃性分解ガスの流出を防ぐ緻密なチャー（炭化層）の形成を促進する。

ナノ材料特有の凝集問題に対しては、大気圧プラズマ処理による表面修飾を行い、シリカエアロゲルをリン酸アンモニウム水溶液に、ナノグラフェンフレークをシランエマルジョンに浸漬させることで、樹脂との化学的架橋を誘導した。この結果、実験グループ4の引張強度は41 kgf/cm²に達し、対照群の28 kgf/cm²から46.43%向上した。また、密着強度についても30 kgf/cm²まで上昇し、対照群比で約15.38%の改善が見られた。

熱分析においては、200 °C以上の高温分解段階での質量減少率が、対照群の15.15%に対し、実験グループでは約0.1%程度にまで抑制された。また、UL-94垂直燃焼試験では最高等級のV-0を達成し、200 °Cで4週間の加速熱老化後も、実験グループ4は初期引張強度の85%以上を維持した。

背景・業界の文脈

高層ビルの防火区画における接合部や設備貫通部のシーラントラインは、火災エンジニアにとって長年の弱点であった。従来の耐火シーラントは、水酸化アルミニウムや酸化鉄などの無機充填剤を大量に配合することで耐火性を高めていたが、これはシーラントに不可欠な弾性や密着性を低下させ、建物の日常的な挙動や経年劣化への耐性を損なうというトレードオフの関係にあった。

今後の展望

本研究で提案された防御メカニズムは、段階的な複合防御として機能する。初期段階ではエアロゲルが内部温度を約200 °C以下に抑え、次いで約220 °C以上で水酸化アルミニウムが吸熱分解して冷却水蒸気を放出し、さらに300〜600 °Cの間でナノグラフェンがチャー骨格を形成して酸素を遮断し、600 °C以上の高温下でもエアロゲルの構造崩壊を防ぐ。本成果は試験片によるラボスケールの結果であり、今後は現場での検証が期待される。

元記事: https://bioengineer.org/hybrid-silicone-sealant-withstands-fire-for-over-an-hour-in-building-joints/

収集日: 2026年10月31日 | 自動記事収集・翻訳システム (AI使用)